

## შრედინგერის განტოლების მიახლოებითი ამოცსის მათოდები

როგორც აღვნიშნეთ, შრედინგერის განტოლება წარმოადგენს კვანტური მექანიკის საფუძველს და ყოველი ამოცანის გადაწყვეტა მოითხოვს ამ განტოლების ამოხსნას სათანადო სასაზღვრო პირობების გამოყენებით. მაგრამ შრედინგერის განტოლების ამოხსნა ნებისმიერი ფიზიკური ამოცანისათვის ყოველთვის როდია შესაძლებელი. უფრო მეტიც, იმ ფიზიკურ ამოცანათა რიცხვი, რომელთა შესაბამისი შრედინგერის განტოლების ამოხსნა ბოლომდევ შესაძლებელი, ძალზე მცირეა. ამოცანების უმეტესი ნაწილისათვის შრედინგერის განტოლება ზუსტად არ ამოიხსნება. აღნიშნული ამოცახების ზუსტი ამოხსნაც რომ შეიძლებოდეს, მიღებული პასუხი იმდენად გართულდებოდა, რომ მას პრაქტიკულად მცირე ღირებულება ექნებოდა. ამიტომაც შრედინგერის განტოლების ამოსახსნელად კვანტურ მექანიკიში შემოღებულია სხვა დასხვა მიაკლოებითი მეთოდები. ამ მეთოდების დღი ნაწილი გამოიყენებოდა ჯერ კიდევ კლასიკურ მექანიკაში სხვადასხვა ამოცანების ამოხსნის დროს და მათემატიკაში დამუშავებული იყო კვანტური მექანიკის ჩამოყალიბებამდე დღით ხნით ადრე.

ამ თავში ჩვენ განვიხილავთ შრედინგერის განტოლების მიახლოებითი ამოხსნის შემდეგ მეთოდებს: შეშფოთების თეორიას სტაციონარული მდგომარეობებისათვის, ვარიაციულ მეთოდს, კვაზიკლასიკურ მეთოდსა და შეშფოთების თეორიას არასტაციონარული მდგომარეობებისათვის (ე. წ. ლირაკის შეშფოთების თეორიას). ამავე თავში განვიხილავთ ამ მეთოდების გამოყენების მაგალითებს.

### § 72. შეშფოთების თეორია მარტივი სპეციალური

კვანტური მექანიკის მრავალ საუკეთესო მიახლოებით მეთოდებს შორის შრედინგერის შეშფოთების თეორიას, თავისი სიმარტივითა და მიღებული შედეგების ნათელი ფიზიკური შინაარსით, განსაკუთრებული დაგილი უჭირავს. იგი წარმოადგენს სტაციონარული ამოცანების შესაბამისი შრედინგერის განტოლების მიახლოებითი ამოხსნის მეთოდს<sup>1</sup>.

დავუშვათ, რომ ჩვენთვის ცნობილია შრედინგერის სტაციონარული მდგომარეობების განტოლების

$$H^0 \psi_n^0 = E_n^0 \psi_n^0 \quad (72,1)$$

ამოხსნები.

განსაზღვრულობისათვის დავუშვათ, რომ  $\hat{H}^0$  ოპერატორის სპექტრი დისკრეტულია და გადაგვარებას ადგილი არა აქვს. ვთქვათ, საჭიროა ვიპოვოთ სის-

<sup>1</sup> E. Schrödinger, Ann. der Phys. 80, 437 (1926).

16. ი. ვაშაკიძე, ვ. მამასახლისოვი, გ. ჭილაშვილი

ტემის ისეთი სტაციონარული მდგრმარეობის  $\psi_n$  საკუთარი ფუნქციები და  $E_n$  საკუთარი მნიშვნელობები, რომლის პამილტონიანი ძალიან მცირედ განსხვავდება  $\hat{H}^0$  ოპერატორისაგან. თუ  $\epsilon$  მცირე პარამეტრია, მაშინ  $\hat{H}$  ოპერატორის მცირედ განსხვავება  $\hat{H}^0$ -ისაგან ნიშნავს იმას, რომ  $\hat{H}$  შეგვიძლია წარმოვიდგინოთ შემდეგი სახით:

$$\hat{H} = \hat{H}^0 + \epsilon \hat{H}' . \quad (72,2)$$

$\hat{H}'$ -ს უწოდებენ შეშფოთების ენერგიის ოპერატორს. როდესაც  $\epsilon \rightarrow 0$ , მაშინ  $\hat{H} \rightarrow \hat{H}^0$ , ასე რომ  $\hat{H}^0$  ყოფილა შეუშფოთებელი მდგრმარეობის პამილტონიანი. როგორც ზევით აღვნიშნეთ, შეუშფოთებელი ენერგიის ოპერატორის საკუთარი ფუნქციები და საკუთარი მნიშვნელობები ცნობილია. საჭიროა ვიპოვოთ  $\hat{H}$  ოპერატორის საკუთარი ფუნქციები და საკუთარი მნიშვნელობები. ამგვარად, საჭიროა

$$(\hat{H}^0 + \epsilon \hat{H}') \psi_n(x) = E_n \psi_n(x) . \quad (72,3)$$

განტოლების ამოხსნა იმ პირობით, რომ ცნობილია (72,1) განტოლების ამოხსნები<sup>1</sup>. ვგულისხმობთ, რომ შეშფოთების ენერგიის დამატებით  $\hat{H}^0$  ოპერატორის სპექტრის დისკრეტულობა არ ირღვვა, რაც, საზოგადოდ, არ არის საგალდებულო.

სანამ (72,3) განტოლების ამოხსნას შევუდგებოდეთ, განვიხილოთ ერთი დამხმარე ამოცანის ამოხსნის საკითხი. ვთქვათ, მოცემულია შემდეგი ტიპის არაერთ გვაროვანი დიფერენციალური განტოლება:

$$(\hat{H}^0 - E_n^0) \psi_n(x) = f(x), \quad (72,4)$$

სადაც  $\psi_n(x)$  და  $f(x)$  ფუნქციები ცნობილი წესით განისაზღვრება; მაგალითად,  $\hat{H}^0$  ერმიტული ოპერატორის ორთონორმირებული  $\psi_n^0(x)$  ფუნქციების მწყრიგად:

$$\psi_n(x) = \sum_k C_k \psi_k^0(x), \quad (72,5)$$

$$f(x) = \sum_m a_m \psi_m^0(x), \quad (72,6)$$

სადაც  $C_k$  და  $a_m$  კოეფიციენტები ცნობილი წესით განისაზღვრება; მაგალითად,

$$a_m = \int f(x) \psi_m^{0*}(x) dx. \quad (72,6')$$

შევიტანოთ (72,5) და (72,6) მნიშვნელობები (72,4) განტოლებაში, მიღებული შედეგი მარცხნიდან გავამრავლოთ  $\psi_j^0(x)$  და ავილოთ ინტეგრალი მთელს სივრცეზე. მივიღებთ

$$\sum_k C_k (E_k^0 - E_n^0) \int \psi_j^{0*}(x) \psi_k^0(x) dx = \sum_m a_m \int \psi_j^{0*}(x) \psi_m^0(x) dx.$$

ორთონორმირების ძალით მარჯვნივ დაგვრჩება ის წევრი, რომლისათვისაც  $m=j$ , მარცხნივ კი,  $k=j$ , ამიტომ

$$C_j (E_j^0 - E_n^0) = a_j; \quad (72,7')$$

<sup>1</sup> ქვემოთ  $x$ -ის ქვეშ ვაგულისხმებთ ყველა ცვლადს.

აქედან განისაზღვრება ყველა  $C_j$  კოეფიციენტი, გარდა  $C_n$ . როცა  $j=n$ , მაშინ  $a_n=0$ , ხოლო  $C_n$  ნებისმიერია.  $a_n=0$  ტოლობა, (72,6') ფორმულის თანახმად, მოგვცემს

$$\langle \psi_n^0 | f \rangle = \int f(x) \psi_n^{0*}(x) dx = 0. \quad (72,7)$$

ამგვარად, შევვიძლია დავასკრინა: იმისათვის, რომ (72,4) არაერთგვაროვან განტოლებას ამოხსნა ჰქონდეს, საჭიროა განტოლების მარჯვენა მხარე ორთოგონალური იყოს შესაბამისი ერთგვაროვანი განტოლების ამოხსნისა. თანახმად (72,5) და (72,7') ფორმულებისა, საძიებელი  $\psi_n(x)$  ფუნქციისათვის გვეწება

$$\left\langle \psi_n(x) = \sum_k \frac{a_k}{E_k - E_n} \psi_k^0. \quad (72,8')$$

შტრიხი ჯამის ნიშანზე ნიშნავს იმას, რომ ჯამიდან გამორჩეულია  $n=k$  წევრი. ცხადია, რომ ამ გამოსახულებას უნდა დაემატოს  $C_n \psi_n^0$  წევრი, სადაც  $C_n$  ნებისმიერი მუდმივია და განისაზღვრება ნორმირების პირობიდან. ამგვარად, საძიებელი ფუნქციის საპოვნელად საკმარისია განტოლების თავისუფალი  $f(x)$  წევრის გაშლის  $a_k$  კოეფიციენტის მოძებნა.

ახლა დავუბრუნდეთ (72,3) განტოლების ამოხსნის საკითხს. როცა  $\epsilon \rightarrow 0$ , მაშინ  $\hat{H} \rightarrow \hat{H}^0$  და, მაშასადამე,  $\psi_n \rightarrow \psi_n^0$  და  $E_n \rightarrow E_n^0$ . ამიტომ, ბუნებრივია, ამ განტოლების ამოხსნა გეძებოთ შემდეგი მწერივის სახით:

$$\begin{aligned} \psi_n(x) &= \psi_n^0(x) + \epsilon \psi_n^{(1)}(x) + \epsilon^2 \psi_n^{(2)}(x) + \dots +, \\ E_n &= E_n^0 + \epsilon E_n^{(1)} + \epsilon^2 E_n^{(2)} + \dots +. \end{aligned} \quad (72,8)$$

მართლაც, ასეთი წარმოდგენა აქმაყოფილებს იმ მოთხოვნებს, რომ  $\epsilon$ -ის ნულისაკენ მისწრაფებისას  $\psi_n \rightarrow \psi_n^0$  და  $E_n \rightarrow E_n^0$ . სიდიდეებს  $E_n^{(1)}, E_n^{(2)}, \dots, \psi_n^{(1)}, \psi_n^{(2)}, \dots$  და ა. შ. უწოდებენ, სათანადო, ენერგიისა და ტალღური ფუნქციის პირველ, მეორე და ა. შ. შესწორებებს.

შევიტანოთ (72,8) მწერივები (72,3) განტოლებაში

$$\begin{aligned} (\hat{H}^0 + \epsilon \hat{H}')(\psi_n^0 + \epsilon \psi_n^{(1)} + \epsilon^2 \psi_n^{(2)} + \dots) &= (E_n^0 + \epsilon E_n^{(1)} + \\ &+ \epsilon^2 E_n^{(2)} + \dots)(\psi_n^0 + \epsilon \psi_n^{(1)} + \epsilon^2 \psi_n^{(2)} + \dots); \end{aligned}$$

გავხსნათ ფრჩხილები და გავიხსენოთ, რომ ტოლობა მხოლოდ და მხოლოდ მაშინ გვექნება, როცა  $\epsilon$ -ის სათანადო ხარისხების წინ მდგომი კოეფიციენტები მარცნივ და მარჯვნივ ერთმანეთის ტოლია; მივიღებთ:

$$(\hat{H}^0 - E_n^0) \psi_n^0 = 0, \quad (72,9)$$

$$(\hat{H}^0 - E_n^0) \psi_n^{(1)} = E_n^{(1)} \psi_n^0 - \hat{H}' \psi_n^0, \quad (72,10)$$

$$(\hat{H}^0 - E_n^0) \psi_n^{(2)} = E_n^{(2)} \psi_n^{(1)} - \hat{H}' \psi_n^{(1)} + E_n^{(2)} \psi_n^0, \quad (72,11)$$

• • • • • • • • • • • •

პირველი განტოლება ახალს არაფერს არ იძლევა; მისი ამოხსნები ამოცანის პირობის ძალით ცნობილია. განვიხილოთ (72,10) არაერთგვაროვანი განტოლება და მისთვის გამოვიყენოთ ამოხსნადობის (72,7) პირობა.. თუ გავხსენებთ, რომ ამ შემთხვევაში  $f(x)$  ფუნქციის როლს თამაშობს  $E_n^{(1)} \psi_n^0 - \hat{H}' \psi_n^0$  ფუნქცია, ეს პირობა ასე ჩაიწერება:

$$\int \psi_n^{(1)*} \{ E_n^{(1)} \psi_n^0 - \hat{H}' \psi_n^0 \} dx = 0,$$

საიდანაც ენერგიის პირველი შესწორებისათვის გვექნება

$$E_n^{(1)} = \int \psi_n^{(1)*} \hat{H}' \psi_n^0 dx = H'_{nn}. \quad (72,12)$$

ამგვარად, ენერგიის პირველი შესწორება ტოლი ყოფილა შეშფოთების ენერგიის ოპერატორის დაგონალური მატრიცული ელემენტისა ან, რაც იგივეა, შეშფოთების ენერგიის საშუალო მნიშვნელობისა და  $\psi_n^0$  მდგომარეობაში.

ვიპოვოთ ახლა ტალღური ფუნქციის პირველი შესწორება  $\psi_n^{(1)}$ ; ამისათვის გამოვიყენოთ (72,8) ფორმულა. ამ ფორმულის თანახმად (72,10) განტოლების ამოხსნას ექნება სახე

$$\psi_n^{(1)} = \sum_k' \frac{a_k}{E_k^0 - E_n^0} \psi_k^0. \quad (72,13)$$

ვიპოვოთ  $a_k$  კოეფიციენტი. იგი წარმოდგენს (72,10) განტოლების მარჯვენა მხარის მწყრივად გაშლის კოეფიციენტს, ე. ი.

$$f(x) \equiv E_n^{(1)} \psi_n^0 - \hat{H}' \psi_n^0 = \sum_k a_k \psi_k^0.$$

გავამრავლოთ ეს გამოსახულება მარცხნიდან  $\psi_k^0(x)$  ფუნქციაზე და ავიღოთ ინტეგრალი მთელს სივრცეზე.  $\psi_k^0$  ფუნქციების ორთონორმირების ძალით მივიღებთ

$$E_n^{(1)} \delta_{kn} - H'_{kn} = a_k. \quad (72,14)$$

შაგრამ (72,13) ფორმულაში  $k \neq n$ , ამიტომ  $a_k = -H'_{kn}$  და, ამგვარად,

$$\psi_n^{(1)} = \sum_k' \frac{H'_{kn}}{E_n^0 - E_k^0} \psi_k^0(x). \quad (72,15)$$

ამ ჯამში  $k$  იღებს ყველა მნიშვნელობას, გარდა  $k=n$ . როგორც (72,8) ფორმულის გამოყვანის დროს აღნიშნეთ, ამ გამოსახულებას უნდა დავუმატოთ  $C_n \psi_n^0$  წევრი; მაგრამ ადვილად ვაჩვენებთ, რომ თუ  $\psi_n(x) = \psi_n^0 + \varepsilon C_n \psi_n^0 + \varepsilon \psi_n^{(1)} + \dots + \text{ფუნქციას } \psi_n^{(1)} \text{ ვანორმირებთ } \varepsilon \text{ ერთზე, მაშინ } \varepsilon \text{ წევრების } \varepsilon \psi_n^{(1)} \text{ მივიღებთ } C_n = 0.$  მართლაც, მოვითხოვთ, რომ

$$\int_{-\infty}^{+\infty} \psi_n^{(1)*}(x) \psi_n(x) dx = 1, \quad (72,16)$$

მაშინ გვექნება

$$\int_{-\infty}^{+\infty} (\psi_n^{(1)*} + \varepsilon C_n \psi_n^{(1)*} + \varepsilon \psi_n^{(1)*}) (\psi_n^0 + \varepsilon C_n \psi_n^0 + \varepsilon \psi_n^{(1)}) dx = 1. \quad (72,17)$$

ინტეგრალების მოგანდინოთ გადამრავლება, გავითვალისწინოთ (72,15) გამოსახულება და გამოვიყენოთ  $\psi_n^0$  ფუნქციების ორთო-ნორმირების პირობა; გვექნება

$$\int_{-\infty}^{+\infty} \psi_n^{(1)*}(x) \psi_n(x) dx = 1 + 2\varepsilon C_n + O(\varepsilon^2) \quad (72,18)$$

სადაც  $O(\varepsilon^2)$  ოპერატორი მიუთითებს, რომ  $\hat{H}$ -ის შემდეგი  $\hat{H}'$ -ის რიგისაა. (72,18)-დან მართლაც ჩანს, რომ თუ  $\psi_n(x)$  ფუნქციებს განორმირებთ  $\varepsilon$  წევრების სიზუსტით, მაშინ  $C_n=0$ .

ახლა ვიპოვოთ ენერგიის მეორე შესწორება. ამ მიზნით (72,11) არაერთგვაროვანი განტოლებისათვის გამოვიყენოთ (72,7) ამოხსნადობის პირობა. ეს პირობა ასე ჩაიწერება:

$$\int \psi_n^{0*} \{ E_n^{(1)} \psi_n^{(1)} - \hat{H}' \psi_n^{(1)} + E_n^{(2)} \psi_n^{(0)} \} dx = 0. \quad (72,19)$$

თუ  $\hat{H}$ -ის შევიტანთ  $\psi_n^{(1)}$  და  $E_n^{(1)}$ -ის მნიშვნელობებს (72,12) და (72,15) ფორმულებიდან, გვექნება

$$E_n^{(2)} = \int \psi_n^{0*} \hat{H} \sum'_k \frac{H'_{kn}}{E_n^0 - E_k^0} \psi_k^0 dx - E_n^{(1)} \int \psi_n^{0*} \sum'_k \frac{H'_{kn}}{E_n^0 - E_k^0} \psi_k^0 dx.$$

რადგან ჯამში გამორიცხულია  $k=n$  შემთხვევა, ამიტომ უკანასკნელი წევრი  $\psi_n^0$  ფუნქციების ორთოგონალობის ძალით ნულის ტოლია. მართლაც,

$$\int \psi_n^{0*} \sum_{k \neq n} \frac{H'_{kn}}{E_n^0 - E_k^0} \psi_k^0 dx = \sum_{k \neq n} \frac{H'_{kn}}{E_n^0 - E_k^0} \delta_{kn} = 0.$$

ამგარად, ენერგიის მეორე შესწორებისათვის გვექნება

$$E_n^{(2)} = \sum'_k \frac{H'_{kn} H'_{nk}}{E_n^0 - E_k^0}. \quad (72,20)$$

ჩვენ შეგვიძლია ვიპოვოთ ენერგიისა და ტალღური ფუნქციის უფრო მაღალი რიგის შესწორებებიც. ჩვეულებრივ ენერგიისათვის ისაზღვრებიან მეორე შესწორებით, ტალღური ფუნქციისათვის კი კმაყოფილდებიან მხოლოდ პირველით. ეს გარემოება იმითაა გამოწვეული, რომ ფიზიკური აზრი აქვს ტალღური ფუნქციის მოდულის კვადრატს. პირველი მიახლოების ტალღური ფუნქციის აბსოლუტური მნიშვნელობის კვადრატში ჩვენ საქმე გვექნება  $\varepsilon^2$  რიგის სიდიდეებთან, ამიტომ ენერგიაშიც იგივე რიგის სიდიდეები უნდა შევინარჩუნოთ, ე. ი. შეიძლება შემოვისაზღვროთ ტალღური ფუნქციის პირველი შესწორებით, ენერგიისა კი — მეორეთი. ამგარად, (72,3) განტოლების ამოხსნას აქვს შემდეგი სახე:

$$\psi_n(x) = \psi_n^0(x) + \varepsilon \sum'_m \frac{H'_{mn}}{E_n^0 - E_m^0} \psi_m^0(x) + O(\varepsilon^2), \quad (72,21)$$

$$E_n = E_n^0 + \varepsilon H'_{nn} + \varepsilon^2 \sum'_m \frac{H'_{mn} H'_{nm}}{E_n^0 - E_m^0} + O(\varepsilon^3),$$

სადაც  $O$  ოპერატორი აღნიშნავს მაღალი რიგის უსასრულოდ მცირე წევრებს.

ახლა დავაზუსტოთ, რას ნიშნავს გამოთქმა „ $\varepsilon \hat{H}'$  მცირეა  $\hat{H}'$ -თან შედარებით“. (72,21) ფორმულებიდან ჩანს, რომ  $\varepsilon \hat{H}'$  ოპერატორის სიმცირე,  $\hat{H}_0$  ოპერატორთან შედარებით, ნიშნავს უტოლობას

$$\left| \frac{\varepsilon H'_{mn}}{E_n^0 - E_m^0} \right| \ll 1; \quad (n \neq m). \quad (72,22)$$

ამიტომ შეშფოთების თეორიის გამოყენებისას საჭიროა გარკვეული სიფრთხილის დაცვა. შეიძლება (72,22) პირობა ორი რომელიმე ( $n_1, m_1$ ) დონისათვის დაცული

იყოს, სხვა რომელიმე ( $n_1, m_1$ ) დონეებისათვის კი — არა. მაგალითად, „შესაძლებელია ორი მეზობელი დონე იმდენად ახლოს იყოს ერთმანეთთან, რომ (72,22) პირობა დაირღვეს. განვიხილოთ, მაგალითად, წყალბადისებური ატომი და გამოვითვალოთ ორ მეზობელ ენერგეტულ დონეს შორის სხვაობა. აშკარაა,

$$E_n^0 - E_{n \pm 1}^0 = - \frac{Ze^4 \mu}{2\hbar^2} \left\{ \frac{1}{n^2} - \frac{1}{(n \pm 1)^2} \right\} = \frac{\pm 2n - 1}{n^2(n \pm 1)^2} \left( \frac{Ze^4 \mu}{2\hbar^2} \right); \quad (72,23)$$

მცირე კვანტური რიცხვებისათვის შესაძლებელია (72,22) პირობა დაცული იყოს, დიდი კვანტური რიცხვების დროს კი (72,23) სხვაობა ნულისაკენ მიისწრაფვის როგორც  $\frac{1}{n^3}$ , ამიტომ შეიძლება იმ სხვაობაშ გადაჭარბოს  $\hat{H}'_{mn}$ -ს და, მაშასადამე, (72,22) პირობა დაირღვეს. ამიტომ, შეშფოთების თეორია უფრო კარგ შედეგს მოგვცემს დაბალი ენერგეტული დონეებისათვის.

განსაკუთრებულ ყურადღებას მოიახოეს კიდევ ერთი გარემოება. არსებობს შემთხვევები, როდესაც ძალიან მცირე შეშფოთებაც კი არღვევს სისტემის სპექტრის დისკრეტულობას (მაგალითად, ანჰარმონიული ოსკოლატორი). ამ შემთხვევაში (72,21) ფორმულებით გამოთვლილ სიდიდეებს აღარა აქვს ჩვეულებრივი აზრი და საკითხი მოითხოვს დამატებით შესწავლას.

ჩვენს მიერ ზემოთ მიღებული შედეგები აღვილად შეიძლება განზოგადდეს იმ შემთხვევისათვის, როდესაც  $\hat{H}^0$  ოპერატორს დისკრეტული სპექტრის გვერდით უწყვეტი სპექტრიც აქვს (ასეთი შემთხვევა გვაქვს მაგალითად კულონურ ველში). ამ დროს (72,21) ფორმულებში აჯამვა დისკრეტული სპექტრის მიხედვით უნდა შევინარჩუნოთ და მას დაგუმატოვ უწყვეტი სპექტრის შესაბამისი წევრი, რომელიც წყვეტილი სპექტრის შესაბამისი წევრიდან იმით განსხვავდება, რომ ჯამი შეცვლილია ინტეგრალით. ასე მაგალითად, ტალღური ფუნქციისათვის შეგვიძლია დავწეროთ

$$\psi_n(x) = \psi_n^0(x) + \varepsilon \left\{ \sum_m' \frac{H'_{mn}}{E_n^0 - E_m^0} \psi_m^0 + \int \frac{\psi_{E'}^*(x) \hat{H}'_{E'n} dE'}{E_n^0 - E'} \right\}, \quad (72,24)$$

სადაც  $\psi_{E'}(x)$  უწყვეტი სპექტრის შესაბამისი ფუნქციაა, ხოლო

$$H'_{E'n} = \int \psi_{E'}^*(x) \hat{H}' \psi_n^0(x) dx. \quad (72,25)$$

შევნიშნოთ, რომ ძალიან ხშირად ე პარამეტრს იღებენ ერთის ტოლად და შეშფოთების ენერგიის სიმცირეს თვით  $\hat{H}'$ -ს სიმცირით ითვალისწინებენ. ასეთ შემთხვევაში (72,21) ფორმულები მიიღებს სახეს:

$$\begin{aligned} \psi_n(x) &= \psi_n^0(x) + \sum_m' \frac{H'_{mn}}{E_n^0 - E_m^0} \psi_m^0(x) + \dots + \\ &\quad (72,26) \end{aligned}$$

$$E_n = E_n^0 + H'_{nn} + \sum_m' \frac{H'_{mn} H'_{nm}}{E_n^0 - E_m^0} + \dots +,$$

ხოლო (72,22)-ის პირობა ასე დაიწერება:

$$|H'_{mn}| \ll |E_n^0 - E_m^0|. \quad (72,27)$$

დაბოლოს აღვნიშნოთ, რომ შეშფოთების თეორია განსაკუთრებით ეფექტურად გამოიყენება იმ შემთხვევაში, როცა გვაინტერესებს ვიპოვოთ ატომის საკუ-

თარი ფუნქციებისა და მნიშვნელობების ცვლილება ატომის გარეშე ველში მოთავსებისას. რადგან ატომშიგა ველები გაცალებით ძლიერია პრაქტიკულად არსებულ გარეშე ველებთან შედარებით, ამიტომ გარეშე ველი შევიძლია განვიხილოთ როგორც მცირე შეშფოთება და გამოვიყენოთ შეშფოთების თეორია. გარდა ამისა, შეშფოთების თეორიის გამოყენება შევვიძლია მაშინაც, როცა პამილტონიანი რამდენიმე წევრისაგან შედგება და ამასთან ერთი რომელიმე წევრი სხვებთან შედარებით ძალიან მცირეა.

### სავარჯიშო ამოცანები

1. ოპოვეთ ე-მუსტის მქონე წრფივი პარმონიული ოსცილატორის ენერგიის ცვლილება ოსცილატორის გარეშე ერთგვაროვან ელექტრულ ველში შეტანის შედეგად, შეშფოთების თეორიის გამოყენებით. ჩათვალეთ, რომ გარეშე ელექტრული ველი სუსტია.

ა მ თ ხ ს ნ ა: შეშფოთების ენერგია ტოლი იქნება  $\hat{H}' = -e\mathcal{E}x$ , სადაც  $\mathcal{E}$  ელექტრული ველის დაძაბულობაა, ხოლო  $x$  ოსცილატორის კოორდინატია.

ენერგიის პირველი შესწორებისათვის გვექნება

$$E_n^{(1)} = H_{nn}' = -e\mathcal{E} \int_{-\infty}^{+\infty} \psi_n^0(x) x \psi_n^0(x) dx = 0,$$

სადაც  $\psi_n^0(x)$  ოსცილატორის ტალღური ფუნქციაა.

საჭიროა განვიხილოთ მეორე შესწორება. რადგან ოსცილატორის ენერგია ტოლია  $E_n^0 = \hbar\omega(n+1/2)$ , ამიტომ (72,20) ფორმულის თანახმად შევვიძლია დავწეროთ

$$E_n^{(2)} = \frac{(e\mathcal{E})^2}{\hbar\omega} \sum_m \frac{x_{mn}^2}{n-m}.$$

ოსცილატორისათვის  $x_{mn}=0$ , თუ  $m \neq n \pm 1$ , ამიტომ (62,15) ფორმულის გათვალისწინებით საბოლოოდ შევიდებთ

$$E_n^{(2)} = -\frac{1}{2\mu} \left( \frac{e\mathcal{E}}{\omega} \right)^2.$$

ჩაშასალამე, ოსცილატორის ენერგია ტოლი იქნება

$$E_n = \hbar\omega(n+1/2) - \frac{1}{2\mu} \left( \frac{e\mathcal{E}}{\omega} \right)^2.$$

2. ვაპოვეთ ენერგიის პირველი შესწორება ნაწილაკისათვის, რომელიც მოძრაობს  $x_0$  სიგანის და უსასრულო სიმაღლის ერთგანზომილებიან პოტენციალურ რომოში, თუ შეშფოთების ენერგიას აქვს სახე

$$\hat{H}' = -C, \quad \text{როცა } 0 < x < x_0/2$$

$$\hat{H}' = +C, \quad \text{როცა } x_0/2 < x < x_0.$$

სადაც  $C$  არის მუდმივი

პასუხი:  $E^{(1)} = 0$ .

### § 73. შეშფოთების თეორია გადაგვარებული საექტრის შემთხვევაში

წინა პარაგრაფში განვიხილეთ შეშფოთების თეორიის ის სპეციალური შემთხვევა, როცა

$$\hat{H}' \psi_n^0 = E_n^0 \psi_n^0 \tag{73,1}$$

განტოლებას ჰქონდა მარტივი სპექტრი, ე. ი. როცა ენერგიის ცოდველ საკუთარ მნიშვნელობას შეესაბამებოდა ერთი საკუთარი ფუნქცია. პრაქტიკული მიზნებისა-

თვის მნიშვნელოვანია იმ შემთხვევის განხილვაც, როცა (73,1) განტოლების სპექტრი გადაგვარებულია, ე. ი. როცა ენერგიის ერთ საკუთარ მნიშვნელობას შეესაბამება რამდენიმე ტალღური ფუნქცია.

დაუშვათ, რომ ჩვენ გვაინტერესებს

$$(\hat{H}^0 + \varepsilon \hat{H}') \psi = E\psi \quad (73,2)$$

განტოლების ამოხსნა, როცა ცნობილია, რომ (73,1) განტოლების სპექტრი გადაგვარებულია. გარკვეულობის მიზნით ვიგულისხმოთ, რომ ენერგიის ერთ  $E_n^0$  საკუთარ მნიშვნელობას შეესაბამება  $m$  საკუთარი ფუნქცია  $\psi_1^0, \psi_2^0, \dots, \psi_m^0$ , ე. ი. სპექტრი  $m$ -ჯერადად გადაგვარებულია. როცა  $\varepsilon \rightarrow 0$ , მაშინ ცხადია (73,2) განტოლების საკუთარი მნიშვნელობები უნდა დაემთხვეს შეუშფოთებელი მდგომარეობის შესაბამისი (73,1) განტოლების  $m$ -ჯერად გადაგვარებულ ენერგიის მნიშვნელობას. რაც შეეხება ტალღურ ფუნქციას, რამდენადაც (73,1) განტოლების აქვს  $m$ -ჯერადად გადაგვარებული სპექტრი გაურკვეველია  $\varepsilon$ -ის ნულისაკენ მისწრაფებისას ამ  $m$  ფუნქციიდან რომელს უნდა დაემთხვეს (73,2) განტოლების საკუთარი  $\psi$ -ფუნქცია. განსხვავებით მარტივი სპექტრის შემთხვევისაგან გადაგვარების დროს, (73,1) განტოლებას აკმაყოფილებს არა მხოლოდ ერთი ფუნქცია, არამედ  $m$  ფუნქცია:  $\psi_1^0, \psi_2^0, \dots, \psi_m^0$  და ამ ფუნქციების ნებისმიერი წრფივი კომბინაცია.  $\psi_1^0, \psi_2^0, \dots, \psi_m^0$  ფუნქციები ორთოგონალური არ არიან, მაგრამ ყოველთვის შეგვიძლია მათგან ორთოგონალური წრფივი კომბინაციების შედგენა<sup>1</sup>. ზოგადობის დაურღვევლად შესაძლებელია დაუშვათ, რომ თვით  $\psi_1^0, \psi_2^0, \dots, \psi_m^0$  ფუნქციები წარმოადგენენ ისეთ  $m$  წრფივად დამოუკიდებელ ფუნქციებს გადაგვარებული  $E_1^0 = E_2^0 = \dots = E_m^0$  ენერგიის საკუთარი მნიშვნელობებით. შემდგომში წერის გამარტივების მიზნით  $n$  ინდექსს ყველაგან ჩამოუშევებთ და ვიგულისხმებთ, რომ ყველა სიდიდე და საკუთარი ფუნქცია ეკუთვნის მდგომარეობას, რომელიც ხსიათდება  $n$  კვანტური რიცხვით.

ამგვარად, ვგულისხმობთ, რომ (73,1) განტოლებას აქვს ორთოგონალური საკუთარი ფუნქციები:

$$\psi_1^0, \psi_2^0, \dots, \psi_m^0, \quad (73,3)$$

რომლებიც წრფივად დამოუკიდებელი არიან და შეესაბამებიან ენერგიის ერთ მნიშვნელობას  $E_1^0 = E_2^0 = \dots = E_m^0$ . მაშასადამე, როცა  $\varepsilon \rightarrow 0$ , (73,2) განტოლების ამონასნი უნდა მიისწრაფოდეს  $E_1^0 (= E_2^0 = \dots = E_m^0)$  საკუთარი მნიშვნელობის შესაბამის რომელიმე  $\psi_i^0$  ამონასნისაკენ, ან მათი წრფივი კომბინაციისაკენ

$$\Phi(x) = \sum_{i=1}^m b_i \psi_i^0(x), \quad (73,4)$$

სადაც  $b_i$  მუდმივი რიცხვია. ამ ფუნქციას ნულოვანი მიახლოების ფუნქციას უწოდებენ. საჭიროა შეშფოთების თეორიის საშუალებით განვსაზღვროთ  $b_i$  კოეფიციენტები. ამგვარად, განსხვავებით მარტივი სპექტრის შემთხვევისაგან, გადაგვარების შემთხვევაში ნულოვანი მიახლოების ფუნქციაც კი განსაზღვრას მოითხოვს. ზემოთ აღნიშნულის თანახმად, (73,2) განტოლების ამოხსნა შემდეგი მწერივის სახით უნდა ვეძებოთ:

$$E = E_1^0 + \varepsilon E^{(1)} + \dots +, \quad (73,5)$$

$$\psi = \sum_{i=1}^m b_i \psi_i^0(x) + \varepsilon \psi^{(1)} + \dots +.$$

<sup>1</sup> იხ. § 12.

მოვიქცეთ სავსებით ისევე, როგორც მარტივი სპექტრის შემთხვევაში. შევინაოთ ეს მწკრივები (73,2) შრედინგერის განტოლებაში და გაფუტოლოთ ε-ის ხარისხების წინ მდგომი კოეფიციენტები; გვექნება:

$$\hat{H}^0 \sum_{i=1}^m b_i \psi_i^0(x) = E_i^0 \sum_{i=1}^m b_i \psi_i^0(x), \quad (73,6)$$

$$(\hat{H}^0 - E_i^0) \psi^{(1)}(x) = \sum_{i=1}^m b_i (E^{(1)} - \hat{H}') \psi_i(x);$$

.....

რადგან პირობის თანახმად  $E_1^0 = E_2^0 = \dots = E_m^0$ , ამიტომ (73,6) სისტემის პირველი განტოლება დაკმაყოფილებულია და იგი ახლს არაფერს იძლევა. ვიპოვოთ (73,6) სისტემის მეორე განტოლების ამონასნები. ამ მიზნით გამოვარეკიოთ, თუ როგორ შეიცვლება (72,7) ამონსნადობის პირობა გადაგვარებული სპექტრის შემთხვევაში. მაშასადამე, დაფუშვათ, რომ (72,4) დამხმარე განტოლების შესაბამის ერთგვაროვან განტოლებას აქვს  $m$ -ჯერადად გადაგვარებული სპექტრი. მაშინ (72,5) და (72,6) ფორმულების ნაცვლად გვექნება შემდეგი გამოსახულებები:

$$\psi(x) = \sum_k \sum_{i=1}^m c_{ki} \psi_{ki}^0; \quad f(x) = \sum_k \sum_{i=1}^m a_{ki} \psi_{ki}^0 \quad (73,6')$$

ეს ფუნქციები შევიტანოთ (72,4) განტოლებაში და გავითვალისწინოთ, რომ.

$$\hat{H}^0 \sum_{i=1}^m c_{ki} \psi_{ki}^0 = E_k^0 \sum_{i=1}^m c_{ki} \psi_{ki}^0,$$

მივიღებთ

$$\sum_k (E_k^0 - E_n^0) \sum_{i=1}^m c_{ki} \psi_{ki}^0 = \sum_k \sum_{i=1}^m a_{ki} \psi_{ki}^0. \quad (73,6'')$$

აქედან კი აშკარაა, რომ  $a_{k1} = a_{k2} = \dots = a_{km} = 0$ , ე. ი. (73,6')-ის იანახმად, ამონსნადობისათვის საჭიროა შესრულებული იყოს ორთოგონალობის პირობა თითო-ეულ  $\psi_{ki}^0$  ფუნქციასთან

$$\langle \psi_{ki}^0 | f \rangle = 0; \quad (i=1, 2, \dots m). \quad (73,6''')$$

ამგვარად, (73,6) სისტემის მეორე განტოლების ამონსნადობის პირობა ასე დაიწერება:

$$\int \psi_k^{0*}(x) \left\{ \sum_{i=1}^m b_i (E^{(1)} - \hat{H}') \psi_i^0(x) \right\} dx = 0; \quad (k=1, 2, \dots m). \quad (73,7)$$

თუ გავიხსენებთ, რომ ჩვენი შერჩევის თანახმად  $\psi_i^0$  ფუნქციები ორთოგონალურნი არიან, მივიღებთ განტოლებას

$$\sum_{i=1}^m b_i \{ H'_{ki} - \delta_{ik} E^{(1)} \} = 0, \quad (73,8)$$

სადაც

$$H'_{ki} = \int \psi_k^{0*}(x) \hat{H}' \psi_i^0(x) dx \quad (73,9)$$

წარმოადგენს შეშფოთების ენერგიის მატრიცულ ელემენტს.  $b_i$  უცნობი კოეფიციენტების მიმართ მივიღეთ წრფივი ერთგვაროვანი განტოლებათა სისტემა. ამ სისტემას არატრივიალური ამონასნი მხოლოდ და მხოლოდ მაშინ აქვს, როცა სისტემის დეტერმინანტი ნულის ტოლია, ე. ი., როცა

$$\begin{vmatrix} H'_{11}-E^{(1)} & H'_{12}\dots & H'_{1m} \\ H'_{21} & H'_{22}-E^{(1)}\dots & H'_{2m} \\ \vdots & \vdots & \vdots \\ H'_{m1} & H'_{m2}\dots & H'_{mm}-E^{(1)} \end{vmatrix} = 0. \quad (73,10)$$

ეს გამოსახულება  $E^{(1)}$ -ის მიმართ წარმოადგენს  $m$  რიგის განტოლებას. ამ განტოლებას საუკუნეობრივ ან სეკულარულ განტოლებას უწოდებენ. მას ექნება  $m$  ფესვი:

$$E_1^{(1)}, E_2^{(1)}, \dots, E_m^{(1)}. \quad (73,11)$$

თუ ყველა ეს ფესვი ერთმანეთისაგან განსხვავებულია, მაშინ გვექნება  $m$  სხვადასხვა დონე, რომლებიც, როცა  $\epsilon \rightarrow 0$ , უხსლოვდებიან  $E_1^0$ -ს. (73,10) საუკუნეობრივი განტოლების ფესვების შეტანით (73,8) ალგებრულ განტოლებათა სისტემაში, თითოეული ფესვისათვის, ერთი რომელიმე კოეფიციენტის საშუალებით განვსაზღვრავთ ყველა  $b_i$  კოეფიციენტს. ამ ერთ კოეფიციენტს კი განვსაზღვრავთ ნორმირების შემდეგი პირობიდან:

$$\int_{-\infty}^{+\infty} \Phi^* \Phi dx = \sum_{i,k} \int_{-\infty}^{+\infty} \psi_k^*(x) \psi_i^0(x) dx = \sum_{i=1}^m b_i^* b_i = 1. \quad (73,12)$$

თუ ვიძოვთ ყველა  $b_i$  კოეფიციენტს, (73,4) ფორმულის თანახმად განვსაზღვრავთ ნულოვანი მიახლოების ტალღურ ფუნქციასაც

$$\Phi_\alpha = \sum_{i=1}^m b_i (E_\alpha^{(1)}) \psi_i^0(x); \quad (\alpha = 1, 2, \dots, m). \quad (73,13)$$

ჩვენ შეგვიძლია ვიძოვოთ უფრო მაღალი რიგის მიახლოვებანიც. მაგრამ ამას არ გავაკეთებთ, რადგან ჩვენი მიზნებისათვის საკმარისია ტალღური ფუნქციის ნულოვანი და ენერგიის პირველი მიახლოებით შემოსაზღვრა. ამგვარად, (73,2) განტოლების მიახლოებითი ამოხსნებისათვის გვექნება:

$$\begin{aligned} \psi_\alpha(x) &= \sum_{i=1}^m b_i (E_\alpha^{(1)}) \psi_i^0(x) + O(\epsilon) \\ E_\alpha &= E_1^0 + \epsilon E_\alpha^{(1)} + O(\epsilon^2), \end{aligned} \quad (73,14)$$

სადაც  $E_\alpha^{(1)}$  წარმოადგენს (73,10) საუკუნეობრივი განტოლების ფესვებს, ხოლო  $b_i$  განისაზღვრება (73,8) სისტემიდან.

შევნიშნოთ, რომ შეშფოთების გამო ის დონეები, რომლებიც შეშფოთების „ჩართვამდე“ გადაგვარებული იყო, საზოგადოდ, მარტივი (გადაუგვარებელი,) ხდება — ადგილი აქვს დონეების გახლებას. ამ მოვლენას უწოდებენ გადაგვარების მოხსნას. როცა (73,10) განტოლების ფესვებიდან ზოგიერთი ერთმანეთს ემთხვევა, მაშინ ადგილი აქვს გადაგვარების ნაწილობრივად მოხსნას — ზოგიერთი დონე შეშფოთების ჩართვის შემდეგაც კვლავ გადაგვარებული რჩება. გადაგვარების მოხსნას ადგილი აქვს, მაგალითად, იმ შემთხვევაში, როცა ატომი შეტანილია გარეშე მაგნიტურ ან ელექტრულ ველში, ამასთან ელექტრულ ველში დონეების გახლებას

ბოლო ორი შევრი ნულის ტოლია, რადგან თსცილატორისათვის ნულისაგან განსხვავებულია მხოლოდ დიაგონალის მეზობელი ელემენტები. ამიტომ, თანახმად (74,12) და (74,8) ფორმულებისა, გვექნება

$$(x^4)_{nn} = x_0^4 [3n^2 + 3(n+1)^3] = \left(\frac{\hbar}{\mu\omega}\right)^2 \frac{3}{2} \left(n^2 + n + \frac{1}{2}\right). \quad (74,16)$$

ამგვარად, ენერგიისათვის (74,6), (74,13) და (74,16) ფორმულების გათვალისწინებით შეიძლება დავწეროთ

$$\begin{aligned} E_n = \hbar\omega \left(n + \frac{1}{2}\right) - \frac{\varepsilon^2}{\hbar\omega} \left(\frac{\hbar}{\mu\omega}\right)^3 \frac{15}{4} \left(n^2 + n + \frac{11}{30}\right) + \\ + \frac{3}{2} \lambda \left(\frac{\hbar}{\mu\omega}\right)^2 \left(n^2 + n + \frac{1}{2}\right). \end{aligned} \quad (74,17)$$

ამ ფორმულას დიდი გამოყენება აქვს ორატომიანი მოლეკულების თეორიაში, როცა მხედველობაში იღებენ ატომების რხევის ანპარმონიულობას.

ახლა გამოვარკვიოთ, როგორი სახე აქვს შეშფოთების მიახლოების გამოყენების პირობას დიდი კვანტური რიცხვებისათვის ანპარმონიული თსცილატორის შემთხვევაში. თანახმად (74,12) ფორმულისა, მატრიცული ელემენტის რიგი ტოლია

$$\varepsilon(x^3)_{nn} \sim \varepsilon x_0^3 \cdot n^{3/2} = \varepsilon \left(\frac{\hbar}{2\mu\omega}\right)^{3/2} n^{3/2},$$

ხოლო დონეებს შორის სხვაობა რიგით ჩატანილია (ე. ი.  $E_n^0 - E_k^0 \sim \hbar\omega$ ), ამიტომ, შეშფოთების თეორიის გამოყენების (72,22) პირობა იძლევა

$$n \ll \left(\frac{\hbar\omega}{\varepsilon}\right)^{3/2} \left(\frac{\mu\omega}{\hbar}\right), \quad (74,18)$$

ე. ი. შეშფოთების თეორიის გამოყენების პირობა დაცული იქნება ძალიან მცირე ე-ის შემთხვევაში. მაგრამ მიუხედავად ამისა, ირკვევა, რომ ანიზოტროპულ თსცილატორს დასკრუტული სპექტრის ნაცვლად ექნება უწყვეტი სპექტრი. თსცილატორს წყვეტილი სპექტრი აქვს მხოლოდ და მხოლოდ მაშინ, როცა  $\varepsilon = 0$ <sup>1</sup>.

### § 75. შტარკის ეფექტი

ახლა განვიხილოთ გადაგვარებული სპექტრის შესაბამისი შეშფოთების თეორიის გამოყენების მაგალითი.

როგორც თავის დროზე აღნიშნება, წყალბადისებური ატომი წარმოადგენს კვანტურ სისტემას, რომელსაც ახასიათებს გადაგვარება. მართლაც, როგორც ვიცით, წყალბადისებური ატომის ტალღური ფუნქცია მოცემულია გამოსახულებით:

$$\psi_{nlm}(r, \theta, \varphi) = R_{nl}(r) Y_{lm}(\theta, \varphi), \quad (75,1)$$

სადაც

$$n=1, 2, 3, \dots; l=0, 1, 2, \dots n-1; -l \leq m_l \leq +l;$$

ხოლო ენერგია ტოლია

$$E_n = -\frac{Z^2 e^4 \mu}{2n^2 \hbar^2}. \quad (75,2)$$

<sup>1</sup> ამის შესახებ დაწვრილებით იხილეთ დ. ი. ბლოхиნცევ. Основы квантовой механики, 1963, გვ. 272.

ენერგია მხოლოდ  $n$  კვანტური რიცხვის ფუნქციაა, ტალღური ფუნქცია კი დამოკიდებულია სამივე კვანტურ რიცხვზე. ეს იმას ნიშნავს, რომ ყოველი ენერგიის დონე გადაგვარებულია (ნორმალური დონის გარდა) და შეიცავს რამდენიმე დონეს. მაგრამ სანამ გარეშე შეშფოთება არ არსებობს, ამ დონეების გარჩევა შეუძლებელია. ისინი, ასე ვთქვათ, ერთმანეთს ემთხვევა.

შტარკის მიერ აღმოჩენილი იყო, რომ თუ ატომს შევიტანოთ ელექტრულ ველში, მაშინ ადგილი აქვს სპექტრალური ხაზების გამრავლებას ან, როგორც ამბობენ, გახლებას. თითოეული დონე იხლიჩება რამდენიმე დონედ. განვიხილოთ ეს მოვლენა და ავხსნათ იგი თეორიულად. სიმარტივის მიზნით ყურადღებას არ მივაჭირეთ რაოდენობრივ მხარეს და დაკმაყოფილდებით მოვლენის თვისობრივი აღწერით; ამასთან, შემოვისაზღვრებით მხოლოდ წყალბადისებური ატომებით.

დავუშვათ, რომ წყალბადისებური ატომი მოთავსებულია  $\vec{E}$  დაძაბულობის მქნე მუდმივ ელექტრულ ველში.  $\vec{E}$  ვექტორი მიემართოთ სისტემის  $z$  ღერძის გასწვრივ, მაშინ  $\vec{E} = (0, 0, \vec{E})$ . ის დამატებითი ენერგია, რომელსაც ატომი შეიძენს ელექტრულ ველში, ტოლი იქნება

$$H' = -e(\vec{E}\vec{r}) = -e\vec{E}z, \quad (75,3)$$

სადაც  $e\vec{r}$  არის ატომის დიპოლმომენტი. მაშასადამე,  $\hat{H}^0$  ჰამილტონიანს, რომელიც გვქონდა ატომის ველში შეტანამდე, დაემატება ოპერატორი  $\hat{H}' = -e\vec{E}z$ , ე. ი. ველში მოთავსებული ატომის ჰამილტონიანს ექნება სახე

$$\hat{H} = \hat{H}^0 + \hat{H}'. \quad (75,4)$$

ვაჩვენოთ, რომ შტარკის ეფექტის გამომწვევი საჭირო ელექტრული ველის შემთხვევაში  $\hat{H}'$  შეგვიძლია განვიხილოთ როგორც მცირე შეშფოთება. მართლაც, ატომშიგა ელექტრული ველის დაძაბულობა სიდიდის რიგით ტოლია

$$\varepsilon_0 = \frac{e}{a_0^3},$$

სადაც  $a_0 = 0,5 \cdot 10^{-8}$  სმ ბორის პირველი თრბიტის რადიუსია. სიდიდის რიგით ატომშიგა ველი  $E_0 = 5,13 \cdot 10^9$  ვოლტი/სმ, გარეშე ველი კი რომლის დროსაც ხდება შტარკის ეფექტი, სიდიდის რიგით  $10^5$  ვოლტი/სმ-ზე ნაკლებია. ამიტომ  $\hat{H}'$  მართლაც შეგვიძლია განვიხილოთ როგორც შეშფოთების ენერგია.

გამოვიყენოთ შეშფოთების თეორია გადაგვარების შემთხვევაში. ამისათვის დაგვჭირდება  $\hat{H}'$ -ის მატრიცული ელემენტის გამოთვლა შეუშფოთებელი მდგომარეობის (75,1) ტალღური ფუნქციებით. გვექნება

$$\langle n'l'm' | H' | nl'm \rangle = \int \psi_{n'l'm'}^*(r, \theta, \varphi) \hat{H}' \psi_{nlm}(r, \theta, \varphi) r^2 dr d\Omega.$$

გავითვალისწინოთ, რომ  $\hat{H}' = -e\vec{E}z$  და გამოვიყენოთ ტალღური ფუნქციების (75,1) გამოხატულება, მაშინ მივიღებთ

$$\langle n'l'm' | \hat{H}' | nl'm \rangle = -e\vec{E} \int_0^\infty R_{n'l'}(r) r R_{nl}(r) r^2 dr \int Y_{l'm'}^*(\theta, \varphi).$$

$$\cos \theta Y_{lm}(\theta, \varphi) d\Omega \quad (75,5)$$

რადგან (33,29) ფორმულის თანახმად

$$\cos \theta Y_{lm}(\theta, \varphi) = \left[ \frac{(l-m+1)(l+m+1)}{(2l+1)(2l+3)} \right]^{1/2} Y_{l+1,m}(\theta, \varphi) + \\ + \left[ \frac{(l-m)(l+m)}{(2l-1)(2l+1)} \right]^{1/2} Y_{l-1,m}(\theta, \varphi),$$

ამიტომ (75,5) მატრიცული ელემენტი მიიღებს სახეს

$$\langle n'l'm' | \hat{H}' | nlm \rangle = \\ = -e\mathcal{E} \langle n'l' | r | nl \rangle \cdot \left\{ \left[ \frac{(l-m+1)(l+m+1)}{(2l+1)(2l+3)} \right]^{1/2} \delta_{l',l+1} \delta_{m'm} + \right. \\ \left. + \left[ \frac{(l-m)(l+m)}{(2l-1)(2l+1)} \right]^{1/2} \delta_{l',l-1} \delta_{m'm} \right\}, \quad (75,6)$$

სადაც

$$\langle n'l' | r | nl \rangle = \int_0^\infty R_{n'l'}(r) r R_{nl}(r) r^2 dr. \quad (75,7)$$

ამგვარად, (75,7) ფორმულიდან საბოლოოდ გვექნება:

$$\langle n'l+1m | \hat{H}' | nlm \rangle = -e\mathcal{E} \langle n'l+1 | r | nl \rangle \left[ \frac{(l-m+1)(l+m+1)}{(2l+1)(2l+3)} \right]^{1/2}, \quad (75,8)$$

$$\langle n'l-1m | \hat{H}' | nlm \rangle = -e\mathcal{E} \langle n'l-1 | r | nl \rangle \left[ \frac{(l-m)(l+m)}{(2l-1)(2l+1)} \right]^{1/2}. \quad (75,9)$$

როგორც ვხედავთ, მატრიცული ელემენტი ნულის ტოლი რომ არ იყოს, გარკვეული პირობა უნდა დაედოს  $l$  და  $m$  კვანტულ რიცხვებს; მთავარი კვანტული რიცხვი კი არ იზოლდება, ამიტომ მატრიცული ელემენტები შეგვიძლია დავნომროთ მხოლოდ  $(l, m)$  და  $(l', m')$  წყვილებით. ე. ი. (75,6) მატრიცულ ელემენტში  $n'$  და  $n$  მთავარ კვანტულ რიცხვებს აღარ დავწერთ.

რადგან წყალბალისებური ატომის პირველი დონე ( $n=1$ ) მარტივია, ამიტომ განვიხილოთ  $n=2$  დონე. ამ შემთხვევაში გადაგვარების ჯერადობა  $n^2=4$ .  $n=2$  ღროს  $l=0, 1$  და სათანადო  $m=0$  და  $m=1, 0, -1$ . ელექტრულ ველში ენერგიის შესწორების მოსახებნად საჭიროა ამოვხსნათ (73,10) საუკუნეობრივი განტოლება, რომელიც  $n=2$  შემთხვევაში მიიღებს სახეს:

$$\begin{vmatrix} H'_{00,00}-E^{(1)} & H'_{00,10} & H'_{00,11} & H'_{00,1-1} \\ H'_{10,00} & H'_{10,10}-E^{(1)} & H'_{10,11} & H'_{10,1-1} \\ H'_{11,00} & H'_{11,10} & H'_{11,11}-E^{(1)} & H'_{11,1-1} \\ H'_{1-1,00} & H'_{1-1,10} & H'_{1-1,11} & H'_{1-1,1-1}-E^{(1)} \end{vmatrix} = 0, \quad (75,10)$$

სადაც  $E^{(1)}$  არის ენერგიის პირველი შესწორება. მაგრამ თანახმად (75,6)-ისა, ყველა დიაგონალური მატრიცული ელემენტი ნულის ტოლია. ნულისაგან განსხვავებული იქნება მხოლოდ  $H'_{00,10}$  და  $H'_{10,00}$ . რადგან  $\hat{H}'$  ერმიტული ოპერატორია, ამიტომ  $H'_{00,10}=H'_{10,00}$ . ეს სიდიდე აღვნიშნოთ  $A$ -თი; მაშინ საუკუნეობრივი განტოლება მიიღებს სახეს

$$\begin{vmatrix} -E^{(1)} & A & 0 & 0 \\ A & -E^{(1)} & 0 & 0 \\ 0 & 0 & -E^{(1)} & 0 \\ 0 & 0 & 0 & -E^{(1)} \end{vmatrix} = 0. \quad (75,11)$$

თუ გავშლით მინორებად, გვეწება

$$\Delta = (-E^{(1)}) (-E^{(1)}) \begin{vmatrix} -E^{(1)} & A \\ A & -E^{(1)} \end{vmatrix} = (E^{(1)})^2 (E^{(1)} - A) (E^{(1)} + A), \quad (75,12)$$

საიდანაც

$$E_1^{(1)} = +A, \quad E_2^{(1)} = -A, \quad (75,13)$$

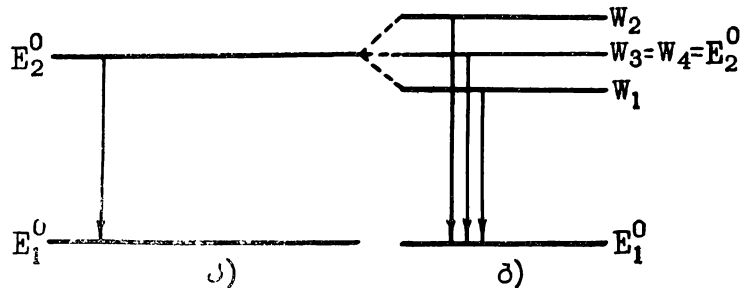
$$E_3^{(1)} = 0, \quad E_4^{(1)} = 0.$$

ამგვარად, 4-ჯერადი გადაგვარებული ერთი დონის მაგიერ მივიღეთ ახალი დონეები:

$$W_1 = E_2^0 + A; \quad W_2 = E_2^0 - A; \quad (75,14)$$

$$W_3 = E_2^0; \quad W_4 = E_2^0.$$

ჩვენ ვხედავთ, რომ ველში შეტანისას ატომს ერთი დონის ნაცვლად ექნება სამი დონე ( $n=2$  დროს).



ნახ. 17.

ნათელია, რომ ამ შემთხვევაში გადაგვარების მოხსნა სრული არა (ერთი დონე კვლავ გადაგვარებულია  $W_3 = W_4 = E_2^0$ ). ამ შემთხვევაში აძლობენ, რომ გადაგვარება მხოლოდ ნაწილობრივ მოხსნა. მე-17 ნახაზიდან ჩანს, რომ თუ ველის გარეშე შესაძლებელი იყო ერთი სპექტრალური ხაზის არსებობა (შემთხვევა ა) ატომის ელექტრულ ველში შეტანისას გვექნება სამი სპექტრალური ხაზი (შემთხვევა ბ). სწორედ ამაში მდგომარეობს შტარკის ეფექტი. ბოლოს შევნიშნოთ, რომ  $E_2 \rightarrow E_1$  გადასვლის შედეგად მიღებული სიხშირე შეესაბამება ლაიმანის ულტრათოსფერ სერიას. როცა გვაინტერესებს შტარკის ეფექტი ხილული სპექტრისათვის, მაშინ საჭიროა განვიხილოთ გადასვლები ზედა დონეებიდან  $n=2$  დონეზე. თუ გვინდა ვიპოვოთ გახლებილი დონის სიგანე  $A$ , მაშინ საჭიროა  $n=2$ -ის შესაბამისი ტალღური ფუნქციებით გამოვთვალით მატრიცული ელემენტი  $\langle 200 | H' | 210 \rangle = A$ . (75,7) განმარტების თანახმად (65,35) და (65,36) რადიალური ფუნქციების გათვალისწინებით, შეგვიძლია დავწეროთ

$$\langle 200 | \hat{H}' | 210 \rangle = -\frac{2e\mathcal{E}}{\sqrt{15}} \langle 20 | r | 21 \rangle, \quad (75,15)$$

$$\langle 20 | r | 21 \rangle = \frac{1}{4\sqrt{3}} \left( \frac{1}{a_0} \right)^4 \int_0^\infty r^4 \left[ 1 - \frac{r}{2a_0} \right] e^{-r/a_0} dr, \quad (75,16)$$

საიდანაც საბოლოოდ გვექნება

$$\langle 200 | H' | 210 \rangle = \frac{6}{V^5} e \mathcal{E} a_0. \quad (75,17)$$

როცა გარეშე ველი  $\mathcal{E}=10^4$  ვოლტი/სმ, მაშინ ეს სიდიდე  $10^{-4} eV$  რიგისაა. ე. ი. განვიხილოთ დონეებს შორის მანძილი გაცილებით ნაკლებია  $\Delta E=(E_2^0-E_1^0)$ -თან შედარებით.

### § 76. დროზე დამოკიდებული შეზფოთების თეორია. გადასვლის აღგათობის ფორმულა

ჩვენ განვიხილეთ შეზფოთების თეორია სტაციონარული მდგომარეობებისათვის, ე. ი. როცა როგორც შეზფოთებული მდგომარეობის ჰამილტონიანი  $\hat{H}_0$ , ისე შეზფოთების ენერგია  $\hat{H}'$  დროზე ცხადად არ იყო დამოკიდებული. ახლა განვიხილოთ შეზფოთების თეორია არასტაციონარული მდგომარეობისათვის. როგორც ვიცით, შრედინგერის განტოლებას არასტაციონარული მდგომარეობისათვის აქვს შემდეგი სახე:

$$i\hbar \frac{\partial \Psi(\mathbf{r}, t)}{\partial t} = \hat{H}(\mathbf{r}, t) \Psi(\mathbf{r}, t). \quad (76,1)$$

ამ განტოლების ზუსტად ამოხსნა, მარტივ შემთხვევაშიაც კი, ძალიან რთულ ამოცანას წარმოადგენს. ასევე მნელია ამ განტოლების მიახლოებითი ამოხსნისათვის შეზფოთების თეორიის გამოყენება. არასტაციონარულ მდგომარეობაში ენერგია არ ინახება და ამიტომ ენერგიის შესწორების მონახვას, ისე როგორც ამას ვაკეთებდით დროზე დამოუკიდებელი შეზფოთების დროს, არავითარი აზრი არ შეიძლება ჰქონდეს. ამიტომ ამ შემთხვევაში შეზფოთების თეორიის ჩამოყალიბებას სხვანაირად უნდა მივუდევთ. სახელდობრ, შეზფოთების თეორიის ჩამოყალიბება შესაძლებელია მაშინ, როცა არასტაციონარული მდგომარეობის ჰამილტონიანი შევეიძლია წარმოვიდგინოთ შემდეგი სახით:

$$\hat{H}(\mathbf{r}, t) = \hat{H}^0(\mathbf{r}) + \hat{H}'(\mathbf{r}, t), \quad (76,2)$$

სადაც  $\hat{H}'(\mathbf{r}, t)$  შევეიძლია განვიხილოთ როგორც დროზე დამოკიდებული მცირე შეზფოთების ოპერატორი, ხოლო  $\hat{H}^0(\mathbf{r})$  არის სტაციონარული მდგომარეობების შესაბამისი ჰამილტონიანი.

ამგვარად, საჭიროა ამოხსნას განტოლება

$$i\hbar \frac{\partial \Psi}{\partial t} = [\hat{H}^0(\mathbf{r}) + \hat{H}'(\mathbf{r}, t)] \Psi \quad (76,3)$$

როცა ცნობილია

$$\hat{H}^0 \psi_n^0(\mathbf{r}) = E_n^0 \psi_n^0(\mathbf{r}) \quad (76,4)$$

სტაციონარული მდგომარეობის განტოლების ამონახსნები. ვიგულისხმოთ, რომ  $\hat{H}'(\mathbf{r}, t)$  გაცილებით ნაკლებია, ვიდრე  $\hat{H}^0(\mathbf{r})$ , ისე რომ იგი შევეიძლია განვიხილოთ როგორც მცირე შეზფოთება. თუ  $t \leq 0$  მომენტისათვის სისტემაშე არ მოქმედებდა შეზფოთება (ე. ი.  $\hat{H}'=0$  როცა  $t \leq 0$ ), მაშინ (76,3) განტოლებას ექნება სახე

$$i\hbar \frac{\partial \Psi_n^0}{\partial t} = \hat{H}^0 \Psi_n^0, \quad (76,5)$$

და მოძრაობს იმპულსით, რომელიც შენახვის კანონის ძალით იქნება  $mv = \frac{\hbar\omega}{c} - l$   
 ტოლი. ენერგია კი ამ შემთხვევაში არ ინახება  $\frac{mv^2}{2}$  არ ას. პროცესის მეორე სა-  
 ფეხურზე მაძრავი ელექტრონი გამოასხივებს ახალ კვანტს, რომლის დროსაც შე-  
 ნახულია იმპულსი, ენერგია კი ისე იცვლება, რომ აღდგენილი იქნეს მისი საწყისი  
 მნიშვნელობა. 2. ელექტრონი ჯერ ასხივებს საბოლოო კვანტს, შემდეგ კი შთანთ-  
 ქას საწყისს. ორივე ამ საშუალებო გადასვლას ერთი და იგივე საბოლოო ძღვო-  
 მარეობამდე მივყავართ. შეიძლება გამოითვალის თითოეული ამ გადასვლის მატ-  
 რიცული ელემენტი და (78,10) ფორმულის გამოყენებით ვიპოვოთ გაფანტვის  
 დიფერენციალური განივევთი. კომპტონის ეფექტის შესაბამისი განივევეთი რელა-  
 ტივისტური ეფექტების გათვალისწინებით ნაპოვნი იყო კლაინისა და ნიშინას მიერ<sup>1</sup>.  
 აღვნიშნოთ, რომ მეორე რიგის ეფექტს განეკუთვნება აგრეთვე სინათლის  
 კომბინაციური გაფანტვა, სინათლის კოპერენციული გაფანტვა და სხვა.

მესამე რიგის ეფექტებიდან ყველაზე მნიშვნელოვანია ატომგულის ველში  
 დამუხრუტებული ელექტრონის გამოსხივება და იგივე ველში ელექტრონ-პოზიტრო-  
 ნის წყვილის წარმოქმნა.

### § 79. ვარიაციული მეთოდი

მიახლოებითი გამოთვლების სრულ იად განსხვავებულ მეთოდს წარმოადგენს  
 ვარიაციული მეთოდი ძალიან ხშირად შეშფოთების თეორია ან სულაც არ გამო-  
 იყენება, ანდა გამოვლები იმდენად რთულდება, რომ ამოცანის გადაწყვეტა პრაქ-  
 ტიკულად შეუძლებელი ხდება. ამ შემთხვევაში მიმართავთ შედარებით უფრო  
 მარტივ-ვარიაციულ მეთოდს. მიახლოებითი გამოთვლებისათვის ვარიაციული მე-  
 თოდი, ისევე როგორც შეშფოთების თეორია, დიდი ხნით ადრე დამუშავებული  
 იყო მათემატიკაში. არსებობს ვარიაციული მეთოდის სხვადასხვა სახე. სიმარტივის  
 მიზნით ჩვენ განვიხილავთ შრედინგერისა და რიტცის ვარიაციულ მეთოდებს. და-  
 ვიწყოთ შრედინგერის ვარიაციული მეთოდის განხილვით; მისი არსი შემდეგში  
 მდგომარეობს: თუ მოცემული გვაქს კვადრატულად ინტეგრებადი ნებისმიერი  
 ფუნქცია  $\Phi(x, y, z; \alpha, \beta, \gamma, \dots)$   $x, y, z$  ცვლადებისა და  $\alpha, \beta, \gamma, \dots$  პარამეტრებისა  
 და, თუ  $E_0$  არის  $\hat{H}$  ენერგიის ოპერატორის ყველაზე უმცირესი საკუთარი მნი-  
 შვნელობა, მაშინ ადგილი აქვს უტოლობას

$$F_0 \leqslant \int_{-\infty}^{+\infty} \Phi^* \hat{H} \Phi d\tau, \quad (79,1)$$

იმ პირობით, რომ

$$\int_{-\infty}^{+\infty} \Phi^* \Phi d\tau = 1, \quad (79,2)$$

სანამ (79,1) უტოლობის მქაცრ მტკიცებას მოვიყვანდეთ, აღვნიშნოთ, რომ იგი  
 მარტივად გამომდინარეობს ფიზიკური მოსაზრებებიდან. მართლაც, იმ მდგომა-  
 რეობაში, რომელიც ხასიათდება ნებისმიერი  $\Phi$  ფუნქციით, ენერგიის საშუალო  
 მნიშვნელობა  $\bar{E} = \langle \Phi | \hat{H} | \Phi \rangle$ , ამიტომ აშკარაა, რომ ენერგიის მინიმალური მნი-

<sup>1</sup> O. Klein, Y. Nishina, Zeits. f. Phys. 52, 853, 869, (1929) იხ. აგრეთვე  
 წიგნი B. Гайтлер, Квантовая теория излучения, ИЛ, 1956.

შენელობა უნდა უდრიდეს ენერგიის საშუალო მნიშვნელობას ან იყოს მასზე ნაკლები, რაც ამტკიცებს (79,1) ფორმულას.

ზუსტი დამტკიცება, რომელსაც ქვემოთ მოვიტანთ, ეკუთვნის ეკარტს და ისიც საკმარისად მარტივია. განვიხილოთ გამოსახულება

$$\int \Phi^* (\hat{H} - E_0) \Phi d\tau = \int \Phi^* \hat{H} \Phi d\tau - E_0. \quad (79,3)$$

ვთქვათ,  $\psi_n$  არის  $\hat{H}$  ოპერატორის საკუთარი ფუნქცია, ე. ი.

$$\hat{H} \psi_n = E_n \psi_n \quad (79,4)$$

და ნებისმიერი ფუნქცია გაგმილოთ ამ  $\psi_1, \psi_2 \dots \psi_n$  ორთონორმირებული ფუნქციების მწყრივად

$$\Phi = \sum_m a_m \psi_m.$$

შევიტანოთ ეს გამოსახულება (79,3)-ში; მივიღებთ

$$\begin{aligned} \int \Phi^* \hat{H} \Phi d\tau - E_0 &= \sum_m \sum_n a_m^* a_n (E_n - E_0) \int \psi_m^* \psi_n d\tau = \\ &= \sum_{m,n} a_m^* a_n (E_n - E_0) \delta_{mn} = \sum_n |a_n|^2 (E_n - E_0). \end{aligned}$$

ეს უკანასკნელი ტოლია ან მეტია ნულზე, რადგან  $|a_n|^2 \geq 0$  და  $E_n \geq E_0$  ( $E_0$  უმცირესი საკუთარი მნიშვნელობაა). ამით (79,1) ფორმულის სამართლიანობა დამტკიცებულია. თუ (79,1) ფორმულაში შევიტანთ ჰამილტონიანის გამოსახულებას, შეგვიძლია დავწეროთ

$$E_0 \leq -\frac{\hbar^2}{2\mu} \int_{-\infty}^{+\infty} \Phi^* \Delta \Phi d\tau + \int_{-\infty}^{+\infty} \Phi^* V \Phi d\tau. \quad (79,5)$$

ამ ფორმულის სხვა სახით გამოსახვისათვის უნდა გარდავჭმნათ  $\langle \Phi | \Delta \Phi \rangle$  სკალარული ნამრავლი, რადგან  $\mp i\nabla$  ერმიტული ოპერატორია, ამიტომ გგაქვს

$$\langle \Phi | \Delta \Phi \rangle = \langle \Phi | \frac{1}{i} \nabla i \nabla \Phi \rangle = \langle \frac{1}{i} \nabla \Phi | i \nabla \Phi \rangle = -\langle \nabla \Phi | \nabla \Phi \rangle \quad (79,6)$$

(79,5) ფორმულა მიიღებს სახეს

$$E_0 \leq -\frac{\hbar^2}{2\mu} \int_{-\infty}^{+\infty} \nabla \Phi^* \cdot \nabla \Phi d\tau + \int_{-\infty}^{+\infty} \Phi^* V \Phi d\tau. \quad (79,7)$$

როცა  $\Phi$  ფუნქცია არაა ნორმირებული, მაშინ (79,5) მოგვცემს

$$E_0 \leq -\frac{\hbar^2}{2\mu} \frac{\langle \Phi | \Delta \Phi \rangle}{\langle \Phi | \Phi \rangle} + \frac{\langle \Phi | V | \Phi \rangle}{\langle \Phi | \Phi \rangle}; \quad (79,8)$$

(79,1) ფორმულაში (ასევე (79,5) და (79,7) ფორმულებში), ტოლიბა მაშინ გვექნება, როცა  $\Phi$  ფუნქცია ძირითადი მდგომარეობის შესაბამისი ნამდვილი ტალღური ფუნქციაა, ე. ი. როცა  $\hat{H} \Phi_0 = E \Phi_0$ . (79,1) ფორმულა საშუალებას გვაძლევს ვიპოვოთ მიახლოებითი ტალღური ფუნქცია და ენერგია ძირითადი მდგომარეობისათვის. რადგან ნებისმიერი (კვადრატულად ინტეგრებადი) ფუნქციისათვის

$I = \langle \Phi | \hat{H} | \Phi \rangle$  ინტეგრალი ყოველოვის მეტია  $E_0$ -ზე, ამიტომ ნამდგილთან უკელაზე უფრო ახლოს მყოფი მნიშვნელობის მისაღებად საჭიროა ვიპოვოთ  $I = \langle \Phi | \hat{H} | \Phi \rangle$  ინტეგრალის აბსოლუტური მინიმუმი (უპირობო ექსტრემუმი). პრაქტიკული გამოთვლებისათვის ეს მეთოდი ჩამოვაყალიბოთ შემდეგი თანამიმდევრობით: 1. ვწერთ ამოსახსნელი ამოცანის პამილტონიანს. 2. ვიღებთ ისეთ ნებისმიერ  $\Phi$  ფუნქციას, რომელიც ფიზიკური მოსაზრებებით ყველაზე უფრო კარგად შეესაბამება ამოცანას; ფუნქციაში უნდა შედიოდეს განუზღვრელი პარამეტრები  $\alpha, \beta, \gamma \dots$ ; გახდენთ ამ ფუნქციის ნორმირებას. 3. ვპოულობთ ინტეგრალის მნიშვნელობას

$$I(\alpha, \beta, \gamma, \dots) = \int_{-\infty}^{+\infty} \Phi^* \hat{H} \Phi d\tau. \quad (79,9)$$

4. ვეძებთ  $I(\alpha, \beta, \dots)$ -ს ექსტრემუმს  $\alpha, \beta, \dots$  პარამეტრების მიმართ. მაშინ

$$I(\alpha_{ext}, \beta_{ext}, \dots) \geq E_0 \quad (79,10)$$

იქნება ენერგიის საძებნი მნიშვნელობა. ხოლო, თუ პარამეტრების ექსტრემალურ მნიშვნელობას შევიტანთ  $\Phi$ -ში, მივიღებთ სათანადო ამოცანის მიახლოებით ტალ-ლურ ფუნქციას.  $\Phi$  ფუნქციას საცდელ ფუნქციას უწოდებენ. აშკარაა, რომ შედეგი დამოკიდებულია საცდელი  $\Phi$  ფუნქციის კარგად შერჩევაზე. საზოგადოდ, რაც მეტ პარამეტრზე იქნება დამოკიდებული საცდელი ფუნქცია, მით უკეთეს შედეგს მივღილებთ.

ადგილად შეიძლება ვიპოვოთ აგზნებული მდგომარეობის მიახლოებითი ტალ-ლური ფუნქციაც. რადგან ძირითადი და აგზნებული მდგომარეობის ტალ-ლური ფუნქციები ორთოგონალური უნდა იყოს, ამისათვის აგზნებული მდგომარეობის საცდელი ფუნქცია ( $\text{რომელიც } \alpha \text{ აგრეთვე დამოკიდებული } i\text{-ენება } \text{პარამეტრებზე}$ ) ისე უნდა შევარჩიოთ, რომ იგი ძირითადი მდგომარეობის ფუნქციასთან ორთოგონალური აღმოჩნდეს; შემდეგ  $\alpha, \beta, \gamma$  აგზნებული მდგომარეობის ენერგიასა და ტალ-ლურ ფუნქციას ვიპოვით ისეთივე პროცედურით, რაც საჭიროა ძირითადი მდგომარეობის ენერგიისა და ფუნქციის მოსაძებნად.

რომ გასაგები იყოს, როგორ ხდება ვარიაციული მეთოდის დახმარებით ენერგიისა და ტალ-ლური ფუნქციის მოძებნა, განვიხილოთ მაგალითი: ვიპოვოთ ენერგიის მინიმალური მნიშვნელობა და ტალ-ლური ფუნქცია წყალბაზის ატომის ძირითადი მდგომარეობისათვის. ზემოთ მოტანილი ეტაპები ჩავატაროთ თანმიმდევრობით.

1. პამილტონიანს აქვს შემდეგი სახე: (იხ. (65,3) ფორმულა,  $n=1$  და  $l=0$ -თვის)

$$\hat{H} = -\frac{\hbar^2}{2\mu} \frac{1}{r^2} \frac{\partial}{\partial r} \left( r^2 \frac{\partial}{\partial r} \right) - \frac{e^2}{r} = -\frac{\hbar^2}{2\mu} \left\{ \frac{d^2}{dr^2} + \frac{2}{r} \frac{d}{dr} \right\} - \frac{e^2}{r}. \quad (79,11)$$

2. საცდელი ფუნქცია შეიძლება იყოს ნებისმიერი, მაგრამ ფიზიკური მოსაზრებებით უმჯობესია ავილოთ  $\Phi(\alpha, r) = c \exp(-\alpha r)$ , რადგან დიდ მანძილებზე ტალ-ლური ფუნქცია სწრაფად უნდა ისპობოდეს. ნორმირება  $(0, \infty)$  შუალედში მოგვცემს

$$\Phi(r, \alpha) = \sqrt{\frac{\alpha^3}{\pi}} e^{-\alpha r}. \quad (79,12)$$

3. ინტეგრალის გამოთვლით მივიღებთ

$$I(\alpha) = \frac{\alpha^3}{\pi} 4\pi \int_0^\infty e^{-\alpha r} \left\{ -\frac{\hbar^2}{2\mu} \left| \frac{d^2}{dr^2} + \frac{2}{r} \frac{d}{dr} \right| - \frac{e^2}{r} \right\} e^{-\alpha r} r^2 dr = \frac{\hbar^2 \alpha^2}{2\mu} - e^2 \alpha. \quad (79,13)$$

4.  $I(\alpha)$ -ს ექსტრემუმის პირობა  $\frac{dI(\alpha)}{d\alpha} = 0$  გვაძლევს

$$\alpha_{ext} = \frac{\mu e^2}{\hbar^2}, \quad (79,14)$$

ე. ი.

$$I(\alpha_{ext}) = E_0 = -\frac{\mu e^4}{2\hbar^2}. \quad (79,15)$$

ხოლო ფუნქციას ექნება სახე

$$\Phi(ar) = \frac{1}{\sqrt{\pi \alpha_0^3}} e^{-r/\alpha_0}, \quad (79,16)$$

სადაც  $\alpha_0$  ბორის პირველი ორბიტის რადიუსია. როგორც ვხედავთ, ენერგიისა და ფუნქციისათვის მივიღეთ ზუსტი მნიშვნელობანი. ეს იმიტომ მოხდა, რომ საცდელ ფუნქციად ჩვენ „შემთხვევით“ სწორი ტალღური ფუნქცია შევარჩიეთ.

რომ აგველო სხვა საცდელი ფუნქცია, მივიღებდით შედარებით უფრო უარეს შედეგს. მაგრამ ვარიაციული მეორედი არსი სწორედ იმაში მდგომარეობს, რომ რა სახის საცდელი ფუნქციაც არ უნდა ავილოთ, ენერგიის გამოთვლილი მნიშვნელობა ყოველთვის ტოლი ან მეტი იქნება ენერგიის ნამდვილ მნიშვნელობაზე. შევნიშნოთ, რომ ეს მეთოდი ამოცანის თავისებურებათა სწორი გათვალისწინების შემდეგ ხშირად საუკეთესო შედეგებს იძლევა. მაგალითად, დავუშვათ, რომ გვინდა ვიპოვოთ ჭრფივი პარმონიული ოსცილატორის ენერგია და ტალღური ფუნქცია. რადგან ოსცილატორი წონასწორობის ირგვლივ ირხევა ძალიან მცირე მანძილებზე, ამიტომ უსასრულობაში ტალღური ფუნქცია ექსპონენციალურად უნდა ხდებოდეს ნულის ტოლი, სათავეში კი იგი სასრული უნდა იყოს. გარდა ამისა, ამოცანის სიმეტრიის გამო, ფუნქცია უნდა იყოს ლუწი. ასეთ ფუნქციებს წარმოადგენს  $\exp(-\alpha x^2)$ ,  $\exp(-\beta x^4)$  და ა. შ. სიმარტივის მიზნით საცდელ ფუნქციად უნდა ავილოთ  $\exp(-\alpha x^2)$ , რაც ოსცილატორის ამოცანისათვის მოგვცემს ზუსტ შედეგს.

ამგარენად, ჩვენ დაგინახეთ, რომ ენერგიის მინიმალური მნიშვნელობა და შესაბამისი საკუთარი ფუნქცია შეიძლება ვიპოვოთ  $I = \langle \Phi | \hat{H} | \Phi \rangle$  გამოსახულების აბსოლუტური მინიმუმის პირობიდან

$$\delta \int \Phi^* \hat{H} \Phi d\tau = 0. \quad (79,17)$$

ახლა კი ვაჩვენოთ, რომ  $E_n$  ენერგიის საკუთარი მნიშვნელობაც და მისი შესაბამისი საკუთარი ფუნქციებიც შეიძლება მიღებულ იქნეს იგივე ვარიაციული ამოცანიდან, თუ აბსოლუტური მინიმუმს პირობას შევცვლით პირობითი ექსტრემუმით. ამისათვის მოვიქცეთ ისე, როგორც მათემატიკაში იქცევიან პირობითი მინიმუმის მოძებნის დროს შემოვილოთ ლაგრანჟის ნამდვილი  $\lambda$  პარამეტრი და (79,17) ფორმულა ასე შევცვალოთ

$$\delta \int \Phi^* (\hat{H} - \lambda) \Phi d\tau = 0, \quad (79,18)$$

სადაც ვგულისხმობთ, რომ  $\int \Phi^* \Phi d\tau = 1$ ; რაღაც  $\bar{E} = \langle \Phi | \hat{H} | \Phi \rangle$  ნამდვილი სი-  
კილეა, ამიტომ

$$\int \Phi^* \hat{H} \Phi d\tau = \int \Phi \hat{H}^* \Phi^* d\tau. \quad (79,19)$$

ვინაიდან  $\Phi$  კომპლექსური ფუნქციაა, ვარირება  $\Phi$  და  $\Phi^*$ -ით შეგვიძლია დამოუ-  
კიდებლად ჩავატაროთ. (79,18) მოგვცემს:

$$\int \delta \Phi^* (\hat{H} - \lambda) \Phi d\tau = 0, \quad (79,20)$$

$$\int \Phi^* (\hat{H} - \lambda) \delta \Phi d\tau = \int \delta \Phi (\hat{H}^* - \lambda) \Phi^* d\tau = 0. \quad (79,21)$$

მეორე განტოლება პირველის კომპლექსურად შეულლებულია და ამიტომ  
ახალს არაფერს იძლევა. (79,20) ფორმულიდან ჩანს, რომ, როცა  $\lambda$  არის  $\hat{H}$  ოპე-  
რატორის საკუთარი მნიშვნელობა  $\lambda = E$  და  $\Phi$  კი არის საკუთარი ფუნქცია, ე. ი.  
როცა დაცულია განტოლება  $\hat{H}\Phi = E\Phi$  (ან  $H^*\Phi^* = E\Phi^*$ ), ექსტრემუმის პირობა  
დაკმაყოფილებულია. პირიქითაც,  $\hat{H}$  ოპერატორის საკუთარ ფუნქციებსა და სა-  
კუთარ მნიშვნელობებს ვიპოვით, თუ ამოვხსნით (79,18) ექსტრემუმის ამოცანას.  
რადგან  $\hat{H} = -\frac{\hbar^2}{2\mu} \Delta + V$ , ამიტომ (79,6) ტოლობის გათვალისწინებით, (79,18)  
განტოლება ასეც შეიძლება გადავწეროთ:

$$\delta \int \left\{ \frac{\hbar^2}{2\mu} \nabla \Phi^* \nabla \Phi + V \Phi \Phi^* - \lambda \Phi^* \Phi \right\} d\tau = 0; \quad (79,22)$$

ამ განტოლების ექსტრემუმი მოგვცემს  $\lambda = E_n$  საკუთარ მნიშვნელობასა და  $\Phi = \psi_n$   
საკუთარ ფუნქციებს. მიახლოებითი ამოხსნა იმაში მდგომარეობს, რომ (79,22)-ში  
შეგვაქვს საცდელი  $\Phi$  ფუნქციები და ექსტრემუმის პირობით ვსაზღვრავთ  $\lambda$ -ს.  
აღნიშნული მეთოდი მათემატიკაში დამუშავებული იყო ჯერ კიდევ 1909 წელს  
რიტის მიერ.

#### § 80. რიტის მეთოდი

ავირჩიოთ ნებისმიერი ფუნქციები  $\varphi_1, \varphi_2 \dots \varphi_m$ , რომლებიც აქმაყოფილებენ  
იმავე სასაზღვრო პირობებს, რასაც სასურველი ტალღური ფუნქცია. დავუშვათ,  
საცდელი  $\Phi$  ფუნქცია წარმოადგენს ამ ფუნქციების წრფივ კომბინაციას

$$\Phi = \sum_{i=1}^m a_i \varphi_i, \quad (80,1)$$

სადაც  $a_i$  მუდმივებია, რომლებიც მოითხოვს განსაზღვრას. შევიტანოთ ეს გამო-  
სახულება ფორმულაში

$$\delta \int \Phi^* (\hat{H} - \lambda) \Phi d\tau = 0; \quad (80,2)$$

გვექნება

$$\delta \sum_i \sum_k a_i^* a_k \left\{ \int \varphi_i^* \hat{H} \varphi_k d\tau - \lambda \int \varphi_i^* \varphi_k d\tau \right\} = 0. \quad (80,2')$$

შემოვილოთ აღნიშვნები

$$H_{ik} = \int \varphi_i^* \hat{H} \varphi_k d\tau = H_{ki}^* = \int \left( \frac{\hbar^2}{2\mu} \nabla \varphi_i^* \nabla \varphi_k + V \varphi_i^* \varphi_k \right) d\tau$$

## სავარგიშო მაგალითები

1. ვარიაციული მეთოდის გამოყენებით იპოვეთ წრფივი პარმონიული ოსცილატორის ენერგია და ტალღური ფუნქცია აგზებული მდგომარეობისათვის.

მითითება: საჭროა დაიწეროს ისეთი საცდელი ფუნქცია, რომელიც ორთოგონალურია ძირითადი მდგომარეობის  $\psi_0(x) = \sqrt{\frac{a}{\pi}} \exp(-ax^2/2)$  ფუნქციასთან. (ასეთი ფუნქცია იქნება, მაგალითად,  $\psi_1(x) = c \frac{d}{dx} \psi_0(x)$ ).

2. ვარიაციული მეთოდის გამოყენებით იპოვეთ დეიტრონის (იხ. გ. 69) ძირითადი მდგომარეობის ენერგია და ფუნქცია, თუ პოტენციალური ენერგია განისაზღვრება  $V(r) = -V_0 \exp(-r/r_0)$  ფუნქციით, სადაც  $V_0 \approx 32 \text{ MeV}$  პოტენციალური ორმოს სილრმეა, ხოლო  $r_0 = 2,2 \cdot 10^{-13} \text{ სმ}$ . საცდელ ფუნქციად ავტორო

$$\Phi = \frac{1}{\sqrt[4]{4\pi}} R = \sqrt{\frac{a^3}{8\pi r_0^3}} e^{-ar/r_0},$$

სადაც  $a$  პარამეტრა.

მითითება. გამოიყენეთ (29,7) ფორმულა. ინტეგრალების ამოხსნის შემდეგ მიღებული გამოსახულების ექსტრემალური მნიშვნელობა  $a$  პარამეტრის მიმართ იქნება სწორედ ენერგიის მნიშვნელობა.

პასუხი:  $a_{ext} = 1,34$ ,  $E_0 < 2,14 \text{ MeV}$ .

### § 81. პვაზიპლასიკური მიახლოების მეთოდი

როგორც ოპტიკური ანალოგის განხილვის დროს დავინახეთ, როცა ნაწილაკის შესაბამისი დებროილის ტალღის სიგრძე  $\lambda \ll R$ , (სადაც  $R$  იმ არის ზომა, რომელშიაც ხდება მოძრაობა), სამართლიანია გეომეტრიული ოპტიკა და, მაშასადამე, საკმარისი მიახლოებით სამართლიანი უნდა იყოს კლასიკური მექანიკის კანონებიც. ამ შემთხვევაში ნაწილაკის მოძრაობა შეგვიძლია განვიხილოთ როგორც კვაზიკლასიკური (თითქმის კლასიკური). არსებობს ასეთი მოძრაობის შესწავლის მიახლოებითი მეთოდი, რომელსაც კვაზიკლასიკური მიახლოების მეთოდს უწოდებენ. ეს მეთოდი დამუშავებული იყო ვენცელის, კრამერსისა და ბრილუენის მიერ, ამიტომაც ამ მეთოდს ხშირად შემოკლებით  $WKB$  მეთოდს უწოდებენ<sup>1</sup>.

განვიხილოთ შრედინგერის სტაციონარული მდგომარეობების განტოლება

$$-\frac{\hbar^2}{2\mu} \Delta \psi + V\psi = E\psi. \quad (81,1)$$

როგორც ვიცით, კვანტური მექანიკისა და კლასიკური მექანიკის მოძრაობის განტოლებებს შორის კავშირს ამყარებს შემდეგი ფუნქცია:

$$\psi = e^{\frac{i\hbar}{\hbar} S}, \quad (81,2)$$

სადაც  $S$  არის ქმედება. (81,2) შევიტანოთ (81,1) განტოლებაში, მივიღებთ

$$\frac{1}{2\mu} (\nabla S)^2 - \frac{i\hbar}{2\mu} \Delta S = E - V \quad (81,3)$$

თუ დავუშვებთ, რომ პლანკის მუდმივი  $\hbar = 0$ , მაშინ (81,3) განტოლება გადაიქცევა კლასიკური მექანიკის ჰამილტონ-იაკობის განტოლებად. ამიტომ შეგვიძლია

<sup>1</sup> G. Wentzel, Zeits. f. Phys. 38, 51S, (1926); H. A. Kramers, Zeits. f. Phys. 39, 828, (1926); L. Brillouin, Comptes rendus, 183, 24, (1926). იხ. აგრეთვე H. Teffreys, Proc. Lond. Math. Soc. (2), 23, 428, (1924).

დავასკვნათ, რომ  $\hbar \rightarrow 0$  დროს კვანტური მექანიკის კანონები კლასიკური მექანიკის კანონებში გადადის. ეს გარემოება გვჩვენებს, რომ  $\hbar$  უნდა განვიხილოთ როგორც მცირე პარამეტრი და (81,2) გამოსახულებაში შემავალი ქმედება ამ პარამეტრის მიხედვით გავშალოთ მწკრივად. ამასთან, კლასიკური მექანიკის შედეგებს მოგვცემს ამ მწკრივის პირველი წევრი ( $\hbar = 0$ ). თუ ჩვენ გვინდა გვქონდეს უქათესი მიახლოება, ვიდრე კლასიკური მექანიკაა, არ უნდა შემოვისაზღვროთ მწკრივის მხოლოდ პირველი წევრით.

სიმარტივის მიზნით განვიხილოთ ერთგანზომილებიანი მოძრაობა; მაშინ (81,3) განტოლება მიიღებს სახეს

$$\frac{1}{2\mu} (\nabla S)^2 - \frac{i\hbar}{2\mu} \Delta S = E - V. \quad (81,4)$$

ზემოთ აღნიშნულის მიხედვით  $S(x)$  ფუნქცია გავშალოთ  $\hbar/i$  ხარისხების მწკრივად

$$S(x) = S_0(x) + \frac{\hbar}{i} S_1(x) + \left( \frac{\hbar}{i} \right)^2 S_2(x) + \dots + . \quad (81,5)$$

ამ მწკრივის ნამდვილი მოგვცემს (81,2) გამოსახულების ფაზის შესწორებას, წარმოსახვითი კი — ამბლიტუდისას.

თუ (81,5) მწკრივს შევიტანთ (81,4) განტოლებაში და შევინარჩუნებთ  $\hbar$ -ის მხოლოდ ნულოვან ხარისხებს, მივიღებთ პირველ მიახლოებას. ამ შემთხვევაში განტოლებას ექნება შემდეგი სახე:

$$\frac{1}{2\mu} S_0'^2(x) = E - V(x); \quad (81,6)$$

რომელიც წარმოადგენს ერთგანზომილებიან პამილტონ-იაკობის განტოლებას. მისი ამოხსნა ასე დაიწერება:

$$S_0(x) = \pm \int_{x_0}^x \sqrt{2\mu [E - V(x)]} dx, \quad (81,7)$$

სადაც  $x_0$  დაფიქსირებული წერტილია.

თუ (81,7)-ს შევიტანთ (81,2)-ში, მივიღებთ ორ კერძო ამონას:

$$\psi_1(x) = C_1 \exp \left( \frac{i}{\hbar} \int_{x_0}^x \sqrt{2\mu [E - V(x)]} dx \right), \quad (81,8)$$

$$\psi_2(x) = C_2 \exp \left( - \frac{i}{\hbar} \int_{x_0}^x \sqrt{2\mu [E - V(x)]} dx \right), \quad (81,9)$$

სადაც  $C_1$  და  $C_2$  ნებისმიერი მუდმივებია. ალებული მიახლოება სამართლიანია მაშინ, როცა (81,4) ფორმულაში მარცხენა მხარის მეორე წევრი აბსოლუტური მნიშვნელობით პირველზე გაცილებით მცირება, ე. ი.

$$\hbar \left| \frac{S_0''(x)}{S_0'(x)} \right| \ll 1, \quad (81,10)$$

ან, რაც იგივეა

$$\left| \frac{d}{dx} \frac{\hbar}{S_0'(x)} \right| \ll 1, \quad (81,11)$$

რადგან  $E = p^2/2\mu + V(x)$ , ამიტომ

$$p(x) = \sqrt{2\mu [E - V(x)]}. \quad (81,12)$$

და (81,7) ფორმულის ძალით გვექნება  $S'_0(x) = p(x)$ ; ასე რომ, (81,11) პირობა მიიღებს სახეს

$$\left| \frac{d\lambda}{dx} \right| \ll 1. \quad (81,13)$$

მეორე მხრივ, რადგან

$$\frac{dp}{dx} = - \frac{\mu \frac{\partial V}{\partial x}}{\sqrt{2\mu (E - V(x))}} = \frac{\mu F}{p}, \quad (81,14)$$

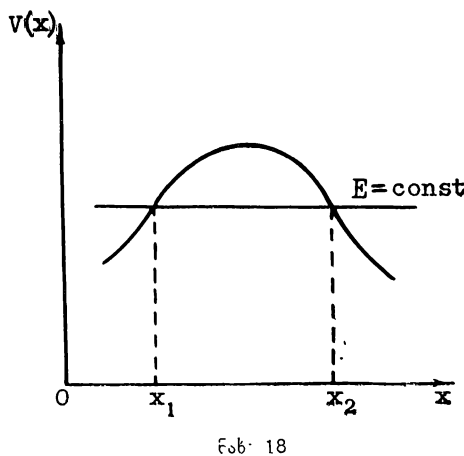
სადაც  $F$  ძალაა, ამიტომ (81,11) პირობა ასეც შეგვიძლია გამოვსახოთ:

$$\frac{\mu \hbar F}{p^3} \ll 1. \quad (81,15)$$

აქედან ჩანს, რომ კვაზიკლასიკური მიახლოება სამართლიანია დიდი სიჩქარეებისათვის. კერძოდ, კვაზიკლასიკურობის პირობა დარღვეულია  $p=0$  წერტილებში. ამ

წერტილებს მობრუნების წერტილები ეწოდება ( $x_1$  და  $x_2$  წერტილები, ნახ. 18-ზე). მობრუნების წერტილები განისაზღვრება  $p(x)=0$  პირობიდან, ე. ი. განტოლებიდან

$$V(x) = E. \quad (81,16)$$



ჩახ. 18

ახლა განვიხილოთ მეორე მიახლოება. ამ მიზნით (81,4)-ში შევიტანოთ  $S = S_0 + (\hbar/i) S_1$ , და შევინარჩუნოთ  $\hbar$ -ის მხოლოდ პირველი ხარისხები. თუ გვითვალისწინებთ (81,6) განტოლებას, შეგვიძლია დაგვიტრინოთ

$$S'_0 S_1 + \frac{1}{2} S''_0 = 0, \quad (81,17)$$

საიდანაც

$$S'_1 = - \frac{1}{2} \frac{S''_0}{S'_0} = - \frac{1}{2} \frac{p'(x)}{p(x)}, \quad (81,18)$$

რომლის ამოხსნა მოგვცემს

$$S_1(x) = - \frac{1}{2} \ln p(x) + \text{const}, \quad (81,19)$$

ხოლო

$$S(x) = S_0 + \frac{\hbar}{i} S_1 = \pm \int_{x_0}^x \sqrt{2\mu [E - V(x)]} dx - \frac{\hbar}{i} \ln \sqrt[4]{2\mu [E - V(x)]} + \text{const.} \quad (81,20)$$

ამგვარად, იმ არეში, სადაც  $E > V(x)$  კვაზიკლასიკურ ტალღურ ფუნქციას მეორე მიახლოებაში ექნება შემდეგი სახე:

$$\begin{aligned}\psi(x) = & \frac{C_1}{\sqrt[4]{E-V(x)}} \exp \left( i \frac{\sqrt{2\mu}}{\hbar} \int_{x_0}^x \sqrt{E-V(x)} dx \right) + \\ & + \frac{C_2}{\sqrt[4]{E-V(x)}} \exp \left( -i \frac{\sqrt{2\mu}}{\hbar} \int_{x_0}^x \sqrt{E-V(x)} dx \right). \quad (81,21)\end{aligned}$$

იმ არეში, სადაც კლასიკური მექანიკით მოძრაობა დაუშვებელია, ე. ი.  $(x_1, x_2)$  არეში,  $E < V(x)$  და ტალღური ფუნქციისათვის  $WKB$  მიახლოებაში მივიღებთ

$$\begin{aligned}\psi(x) = & \frac{D_1}{\sqrt[4]{V(x)-E}} \exp \left( \frac{\sqrt{2\mu}}{\hbar} \int_{x_0}^x \sqrt{V(x)-E} dx \right) + \\ & + \frac{D_2}{\sqrt[4]{V(x)-E}} \exp \left( -\frac{\sqrt{2\mu}}{\hbar} \int_{x_0}^x \sqrt{V(x)-E} dx \right). \quad (81,22)\end{aligned}$$

როგორც ვხედავთ, იმ არეში, სადაც  $E > V(x)$ , გვაქვს ოსცილირებადი ამონახსნები, ხოლო არეში, სადაც  $E < V(x)$ , ტალღური ფუნქცია შეიცავს ექსპონენციალურად კლებად და ზრდად წევრებს. ეს ფუნქციები დამოკიდებულია სამ ნებისმიერ მუდმივზე.

აღვილად დასანახია, რომ როგორც (81,21), ისე (81,22) ფუნქცია ექსპონენტურინა მატრავლის წყალობით მობრუნების წერტილებში, ე. ი. იქ, სადაც კვაზიკლასიკურობის პირობა დარღვეულია, უსასრულობა ხდება. ამიტომ აუცილებელია ამ ფუნქციების სახის დაზუსტება მობრუნების წერტილების უშუალო მახლობლობაში. ამის მიღწევა შეიძლება ალნიშნულ ფუნქციებში შემავალი ნებისმიერი მუდმივების სათანადო ზერჩევით. ამისათვის პოულობენ შრედინგერის განტოლების ზუსტ ამონახსნს მობრუნების წერტილის (ვთქვათ  $x=x_1$ ) უშუალო მახლობლობაში, რისთვისაც პოტენციალურ ენერგიას შლიან მწყრივად და ისაზღვრებიან  $x$ -ის პირველი ხარისხით  $V(x)=V(x_1)+\left(\frac{\partial V}{\partial x}\right)_{x=x_1}(x-x_1)$ . ამ პოტენციალური ენერგიისათვის კი შრედინგერის განტოლება ზუსტად ამონახსნება. ამის შემდეგ ითხოვენ, რომ ზუსტი ფუნქციის მნიშვნელობები მობრუნების წერტილის უშუალო მახლობლობაში მარცხნივ და მარჯვნივ ემთხვეოდეს შესაბამისი არების კვაზიკლასიკურ ფუნქციებს. ეს პოლივრა საშუალებას გვაძლევს ნებისმიერი მუდმივების სწორად შერჩევისა. ჩვენ არ შევუდგებით ამ ამონანის გადაწყვეტას და დავჭრა ყოფილდებით მხოლოდ საბოლოო პასუხების ამოწერით.

როცა პოტენციალურ ენერგიას აქვს ნახ. 18-ზე მოცემული სახე, ე. ი., როცა  $x > x_1$ -სათვის  $E < V(x)$ , ხოლო  $x < x_1$ -სათვის  $E > V(x)$ , მაშინ სწორ მიახლოებით ტალღურ ფუნქციას ექნება სახე:

$$\psi(x) = \frac{C}{\sqrt[4]{E-V(x)}} \cos \left( \frac{\sqrt{2\mu}}{\hbar} \int_{x_1}^x \sqrt{E-V(x)} dx + \frac{\pi}{4} \right), \quad x < x_1 \quad (81,23)$$

რომელსაც  $x > x_1$  არეში შეესაბამება ფუნქცია

$$\psi(x) = \frac{C}{2 \sqrt[4]{V(x)-E}} \exp\left(-\frac{\sqrt{2\mu}}{\hbar} \int_{x_1}^x \sqrt{V(x)-E} dx\right); \quad x > x_1 \quad (81,24)$$

როცა მობრუნების წერტილის მარჯვნივ  $E > V(x)$  (ასეთი შემთხვევა გვაქვს ნახ. 18-ზე მეორე  $x = x_2$  მობრუნების წერტილის თვის), მაშინ (81,24) ფუნქციას  $x > x_2$  არეში შეესაბამება ტალღური ფუნქცია:

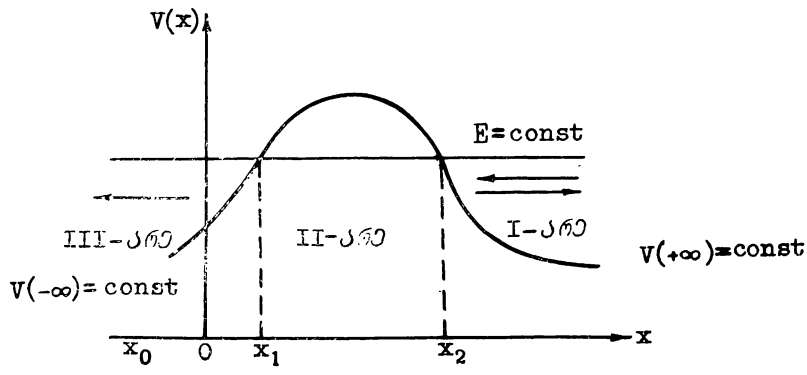
$$\psi(x) = \frac{C}{\sqrt[4]{E-V(x)}} \sin\left(\frac{\sqrt{2\mu}}{\hbar} \int_{x_2}^x \sqrt{E-V(x)} dx + \frac{\pi}{4}\right). \quad x > x_2 \quad (81,25)$$

ეს ფუნქციები უკვე წარმოადგენენ  $WKB$  მიახლოების „სწორ“ ტალღურ ფუნქციებს. კერძოდ, (81,23) და (81,24) არიან შრედინგერის განტოლების ერთი და იგივე ზუსტი ამონასნის მიახლოებითი ფუნქციები მობრუნების  $x = x_1$  წერტილის მარცხნივ და მარჯვნივ.

კვაზიკლასიკური მიახლოების ტალღურ ფუნქციებს დიდი გამოყენება აქვთ სხვადასხვა ამოცანების გადაწყვეტის დროს.

#### § 82. გაუონვის პოეტიკისთვის ნებისმიერი. სახის ერთგანზომილებაზე ჯებირის შემთხვევაზე

ნებისმიერი ფორმის ერთგანზომილებაზი პოტენციალური ჯებირის შემთხვევაში გაუონვის კოეფიციენტის ზოგადი ფორმულის მისაღებად გამოვიყენოთ  $WKB$  მეთოდით ნაპოვნი ტალღური ფუნქციები. დაგუშვათ, რომ პოტენციალურ ჯებირს აქვს ნახ. 19-ზე მოცემული სახე და ვთქვათ, ამ ჯებირს ნაწილაკები ეცემა მარჯვ-



ნახ. 19

ნიდან მარცხნივ  $x$ -ლერძის საწინააღმდეგო მიმართულებით. აშკარაა,  $x_1$  წერტილის მარცხნივ გვექნება მხოლოდ გასული ტალღა,  $x_2$ -წერტილის მარჯვნივ კი — როგორც დაცემული, ისე არეკლილი ტალღები. ტალღური ფუნქციები, არების შესაბამისად აღვნიშნოთ  $\psi_1$ ,  $\psi_2$  და  $\psi_3$ -ით. მაშინ, თანახმად (81,21) და (81,22) ფორმულებისა, შეგვიძლია დაგწეროთ:

$$\begin{aligned} \psi_1(x) &= \frac{1}{\sqrt[4]{E-V(x)}} \left\{ a_+ \exp\left[\frac{i \sqrt{2\mu}}{\hbar} \int_{x_2}^x \sqrt{E-V(x)} dx\right] + \right. \\ &\quad \left. + a_- \exp\left[-\frac{i \sqrt{2\mu}}{\hbar} \int_{x_2}^x \sqrt{E-V(x)} dx\right] \right\}, \quad x > x_2 \end{aligned}$$

$$\begin{aligned}\psi_2(x) = & \frac{1}{\sqrt[4]{E-V(x)}} \left\{ b_+ \exp \left[ \frac{\sqrt{2\mu}}{\hbar} \int_{x_1}^x \sqrt{V(x)-E} dx \right] + \right. \\ & \left. + b_- \exp \left[ - \frac{\sqrt{2\mu}}{\hbar} \int_{x_1}^x \sqrt{V(x)-E} dx \right] \right\} \quad x_1 < x < x_2 \quad (82,1) \\ \psi_3(x) = & \frac{C_-}{\sqrt[4]{E-V(x)}} \exp \left[ -i \frac{\sqrt{2\mu}}{\hbar} \int_{x_0}^x \sqrt{E-V(x)} dx \right]. \quad x > x_1\end{aligned}$$

ამ გამოსახულებებში  $a_+$ ,  $a_-$ ,  $b_+$ ,  $b_-$  და  $c_-$  ნებისმიერი მუდმივებია. რაღაც  $x_1 < x < x_2$  შუალედში  $V(x) > E$ , ამიტომ  $\psi_2(x)$ -ისათვის ავიღეთ (81,22) ამონასნი. ადვილი მისახვედრია, რომ აქ დაწერილ ფუნქციებს აქვთ სწორი ასიმპტოტური ფორმა. სახელდობრ,  $\psi_1(x)$  უსასრულო მანძილზე წარმოადგენს დაცვმული და არეკლილი ტალღების ჯამს, ხოლო  $\psi_3(x)$  — გასულ ტალღას. ამის დასამტკიცებლად ვიგულისხმოთ, რომ პოტენციალური ენერგია ჯებირიდან უსასრულოდ შორს მუდმივი სიდიდეა, ე. ი. როცა  $x \ll x_1$  და  $x \gg x_2$ , მაშინ  $V(\pm \infty) = \text{const}$  განვიხილოთ ჯერ  $\psi_1(x)$  ფუნქციის ყოფაქცევა დიდ მანძილებზე. გვექნება

$$\psi_1(x) = \frac{1}{\sqrt[4]{E-V(\infty)}} \left\{ a_+ e^{\frac{i p}{\hbar}(x-x_2)} + a_- e^{-\frac{i p}{\hbar}(x-x_2)} \right\}. \quad x \gg x_2 \quad (82,2)$$

ამ გამოსახულებას კი აქვს შემდეგი სახე:

$$\psi_1(x) = A e^{\frac{i p}{\hbar} px} + B e^{-\frac{i p}{\hbar} px}, \quad (82,3)$$

რომელიც მართლაც წარმოადგენს დაცვმული და არეკლილი ბრტყელი ტალღების სუპერპოზიციას. სრულიად ანალოგიურად, როცა  $x \ll x_1$ ,  $\psi_3(x)$  ფუნქციას ექნება გამოსახულება

$$\psi_3(x) = \frac{c_-}{\sqrt[4]{E-V(-\infty)}} e^{-\frac{i p}{\hbar}(x-x_0)}, \quad (82,4)$$

რაც შეესაბამება  $x$ -ლერძის საწინააღმდეგო მიშართულებით გავრცელებად ტალღას, ე. ი. გასულ ტალღას.

გაუონგის კოეფიციენტი შეიძლება განვსაზღვროთ როგორც შემდეგი ფარდობა:

$$D = \frac{|\psi_{\text{გა}}(-\infty)|^2}{|\psi_{\text{გა}}(+\infty)|^2}, \quad (82,5)$$

საღაც ჭავა (- ∞) არის ჯებირში გასული ნაწილაკების ტალღური ფუნქციის მნიშვნელობა — ∞-ში, ხოლო ჭავა (+ ∞) არის დიცემულ ნაწილაკთა ნაკადის შესაბამისი ტალღური ფუნქციის მნიშვნელობა + ∞-ში.

გაუონგის კოეფიციენტისათვის გვექნება

$$D = \frac{v_{+\infty}}{v_{-\infty}} \left| \frac{c_-}{a} \right|^2; \quad (82,6)$$

$v_{+\infty}$  და  $v_{-\infty}$  ნაწილაკის სიჩქარეებია ჯებირზე დაჯახებამდე და ჯებირში გასვლის შემდეგ ჯებირიდან ძალიან შორ მანძილებზე.  $c_-$  და  $a_-$  კოეფიციენტების გან-

სასაზღვრად გამოვიყენოთ შეკერვის პირობები მობრუნების წერტილებზე. ჯერ შევკეროთ  $\psi_2$  და  $\psi_3$  ფუნქციები  $x=x_1$  წერტილზე<sup>1</sup>. ფუნქციების ტოლობა  $x=x_1$  წერტილზე მოგვცემს

$$b_+ + b_- = c_- \exp \left\{ -i \frac{\sqrt{2\mu}}{\hbar} \int_{x_0}^{x_1} \sqrt{E-V(x)} dx \right\}. \quad (82,7)$$

წარმოებულების გატოლებით  $x=x_1$  წერტილზე მივიღებთ<sup>2</sup>

$$b_+ - b_- = -ic_- \exp \left\{ -i \frac{\sqrt{2\mu}}{\hbar} \int_{x_0}^{x_1} \sqrt{E-V(x)} dx \right\}. \quad (82,8)$$

ამ ორი ტოლობიდან კი აღვილად განვსაზღვრავთ  $b_+$  და  $b_-$  მუდმივებს. გვექნება

$$b_\pm = \frac{1 \mp i}{2} \exp \left\{ -i \frac{\sqrt{2\mu}}{\hbar} \int_{x_0}^{x_1} \sqrt{E-V(x)} dx \right\}. \quad (82,9)$$

ახლა შევკეროთ  $\psi_1$  და  $\psi_2$  ფუნქციები  $x=x_2$  წერტილზე. ამასთან, განვიხილოთ ისეთი ჯებირი, რომელსაც აქვთ საკმარისად დიდი სიგანე. მაშინ  $\psi_2$ -ში მეორე წევრი პირველთან შედარებით გაცილებით მცირეა  $x=x_2$  წერტილში, ექსპონენტში მინუს ნიშნის გამო. ამიტომ განიერი ჯებირისათვის შეგვიძლია დავუშვათ, რომ  $b_- = 0$ . ამის გამო, წარმოებულების ტოლობა მოგვცემს

$$a_+ - a_- = -ib_+ \exp \left\{ \frac{\sqrt{2\mu}}{\hbar} \int_{x_1}^{x_2} \sqrt{V(x)-E} dx \right\}. \quad (82,10)$$

ამავე წერტილზე ფუნქციათა ტოლობა კი იძლევა ტოლობას

$$a_+ + a_- = b_+ \exp \left\{ \frac{\sqrt{2\mu}}{\hbar} \int_{x_1}^{x_2} \sqrt{V(x)-E} dx \right\}. \quad (82,11)$$

ამ ორი უკანასკნელი ტოლობიდან შეგვიძლია განვსაზღვროთ  $a_+$  და  $a_-$  მუდმივები. გვექნება

$$a_+ = \frac{1-i}{2} b_+ \exp \left\{ \frac{\sqrt{2\mu}}{\hbar} \int_{x_1}^{x_2} \sqrt{V(x)-E} dx \right\}, \quad (82,12)$$

$$a_- = \frac{1+i}{2} b_+ \exp \left\{ \frac{\sqrt{2\mu}}{\hbar} \int_{x_1}^{x_2} \sqrt{V(x)-E} dx \right\}. \quad (82,13)$$

უკანასკნელ გამოსახულებაში შევიტანოთ  $b_+$ -ის მნიშვნელობა (82,9) ფორმულიდან; მივიღებთ

<sup>1</sup> მკაცრად რომ ვამსჯელოთ, მობრუნების წერტილებში ჩვენ მიერ შერჩეული ფუნქციები არ ვარგა, რადგან კვაზიკლასური მიახლოების პირობა ამ წერტილებში არ სრულდება. გაუონვას კოეფიციენტი ამ მიახლოებაში გამოყვანილი იყო გამოვას მიერ. აღსანიშნავია, რომ აღნიშნული უზუსტობა საბოლოო შედეგი არ ცვლის.

<sup>2</sup> წარმოებულების გატოლების დროს ექსპონენტშინა  $\sqrt[4]{E-V(x)}$  გამოსახულებას შეიძლება ყურადღება არ მივაქციოთ, რადგან იგი საერთოა ორივე ფუნქციისათვის.

$$a_{-} = -\frac{1}{2} c_{-} \exp \left\{ -i \frac{\sqrt{2\mu}}{\hbar} \int_{x_0}^{x_1} V(E-V(x)) dx \right\}. \quad (82,14)$$

$$\exp \left\{ \frac{\sqrt{2\mu}}{\hbar} \int_{x_1}^{x_2} V(V(x)-E) dx \right\}.$$

საიდანაც შეგვიძლია განვსაზღვროთ  $a_{+}/c_{-}$  სიდიდე, რომელიც მონაწილეობს გა-  
ურნვის კოეფიციენტის განმარტებაში. მაშასალამე, (82,6) გაურნვის კოეფიციენტი  
მიიღებს შემდეგ სახეს:

$$D = 4 \frac{v_{+\infty}}{v_{-\infty}} e^{-\frac{2}{\hbar} S}, \quad (82,15)$$

სადაც

$$S = \int_{x_1}^{x_2} V \sqrt{2\mu [V(x) - E]} dx. \quad (82,16)$$

ამგვარად, გაურნვის კოეფიციენტის განსაზღვრა დაიყვანება  $S$  ინტეგრალის გამო-  
თვლაშე. ინტეგრალი აიღება კლასიკური მექანიკის თვალსაზრისით მოძრაობისათ-  
ვის დაუშვებელ არეზე. ამ არის ბოლო წერტილები, ე. ი. ინტეგრალის საზღვრე-  
ბი განიმარტება განტოლებიდან

$$V(x) = E, \quad (82,17)$$

ე. ი. ფესვქვეშა გამოსახულების ნულებით.

მიღებული ფორმულების განზოგადება ადგილია ცენტრალური სიმეტრიის  
მქონე პოტენციალური ჯებირისათვის. როგორც ვიცით, ცენტრალურ ველში ამო-  
ცანა ფაქტიურად დაიყვანება ერთგანზომილებიან შემთხვევაზე, ოღონდ პოტენცია-  
ლურ ენერგიას უნდა დაემატოს ცენტრაგამშორი პოტენციალური ენერგია

$$V_l(r) = \frac{\hbar^2 l(l+1)}{2\mu r^2}. \quad (82,18)$$

ასე რომ, ცენტრალური სიმეტრიის ჯებირში გაურნვის კოეფიციენტისათვის შეგვიძ-  
ლია დაფწეროთ შემდეგი ფორმულა:

$$D_l = 4 \frac{v_{+\infty}}{v_{-\infty}} e^{-\frac{2}{\hbar} S_l}, \quad (82,19)$$

სადაც

$$S_l = \int_{r_1}^{r_2} \sqrt{2\mu \left\{ V(r) + \frac{\hbar^2 l(l+1)}{2\mu r^2} - E \right\}} dr. \quad (82,20)$$

ინტეგრალის საზღვრები იმავე წესით განისაზღვრება. კერძოდ,  $r_1$  და  $r_2$  მობრუ-  
ნების წერტილები აკმაყოფილებენ განტოლებას

$$V(r) + \frac{\hbar^2 l(l+1)}{2\mu r^2} - E = 0. \quad (82,21)$$

როცა ჯებირს ეცემა ნულოვანი მომენტის მქონე ნაწილაკი ( $l=0$ ), მაშინ (82,15)  
და (82,19) ფორმულებს გარეგნულად ერთი და იგივე სახე აქვთ.

ბოლოს ერთხელ კიდევ მივუთითოთ, რომ მიღებული ფორმულები სამართ-  
ლიანია მხოლოდ საკმარისად განიერი ჯებირისათვის.

### § 83. α-დაშლის თეორია

α-დაშლის მოვლენა განვიხილოთ როგორც მნიშვნელოვანი მაგალითი ცენტ-რალური სიმეტრიის ქვებირში გავლისა. კვნიტური მექანიკის ჩამოყალიბებაზე დიდი ხნით ადრე აღმოჩენილ იქნა, რომ ზოგიერთი მძიმე ატომგული გამოასხივებდა დადებითად დამუხტულ ნაწილაკებს, რომლებსაც  $\alpha$ -ნაწილაკები უწოდეს, თვით მოვლენას კი —  $\alpha$ -დაშლა. გაზომებმა გვიჩვენეს, რომ  $\alpha$ -ნაწილაკის მუხტი  $+2e$ -ს ტოლია ( $e = 4,8 \cdot 10^{-10} CGSe$  ელემენტარული მუხტია). შემდგომში აღმოჩნდა, რომ  $\alpha$ -ნაწილაკები წარმოადგენს ჰელიუმის ატომგულებს და, მაშასადამე, შედგება ორი ნეიტრონისა და ორი პროტონისაგან. თუ საწყის გულს აღვნიშნავთ  $zX^A$ -ით, სადაც  $A$  არის ატომწონა დამრგვალებული უახლოეს მთელ რიცხვამდე — ე. წ. მასური რიცხვი,  $Ze$  კი ატომგულის მუხტია, მაშინ  $\alpha$ -დაშლის შედეგად ადგილი ექნება ასეთ გარდაქმნას

$$zX^A \rightarrow z_{-2}X^{A-4} + \alpha, \quad (83,1)$$

სადაც  $z_{-2}X^{A-4}$  წარმოადგენს  $\alpha$ -დაშლისას მიღებულ გულს, რომლის მასა საწყის გულთან შედარებით შემცირებულია ოთხი ერთეულით, მუხტი კი — ორი ერთეულით. ალსანიშნავია, რომ  $\alpha$ -დაშლა ხდება თავისთავად, გარეშე პირობების ჩაურევლად. ამასთან, ალბათობა იმისა, რომ  $dt$  დროში მოხდება გულების დაშლა, პროპორციულია  $dt$ -სი და  $t$  მომენტში არსებული დაუშლელი ატომგულების რიცხვისა, ე. ი. თუ  $N$  არის იმ გულების რიცხვი, რომლებიც არ დაშლილან  $t$  მომენტისათვის, მაშინ ნაწილაკთა ის რიცხვი, რომელიც  $dt$  დროში დაიშლება, იქნება

$$dN = -N\lambda dt,$$

სადაც  $\lambda$  არის პროპორციულობის კოეფიციენტი. ამ განტოლების ინტეგრაცია მოგვცემს

$$N(t) = N(0) e^{-\lambda t}, \quad (83,2)$$

სადაც  $N(0)$  არის გულების ის რიცხვი, რომელიც გვაქვს  $t=0$  მომენტში. დროს, რომლის განმავლობაშიც დაიშლება  $t$  მომენტში არსებული დაუშლელი გულების ნახევარი, უწოდებენ დაშლის ნახევარ პერიოდს და აღნიშნავენ  $T$ -თი. (83,2) ფორმულიდან გვექნება

$$\frac{N(T)}{N(0)} = \frac{1}{2} = e^{-\lambda T},$$

საიდანაც

$$T = \frac{\ln 2}{\lambda}. \quad (83,3)$$

λ-ს უწოდებენ რადიაქტიური დაშლის მუდმივას. იგი დამოკიდებულია გულებიდან გამოტყორცილი  $\alpha$ -ნაწილაკების ენერგიაზე. მოვნახოთ რადიაქტიური ატომგულის სიცოცხლის საშუალო ხანგრძლიობა; იგი უდრის

$$\tau = \frac{1}{N(0)} \int_0^\infty t \lambda N(t) dt = \lambda \int_0^\infty t e^{-\lambda t} dt = \frac{1}{\lambda}. \quad (83,4)$$

გამოვარკვით, როგორ შეიძლება მივუდგეთ  $\alpha$ -დაშლის პრობლემის გადაწყვეტას.

როგორც ცნობილია, ატომის გული შედგება ნეიტრონებისა და პროტონებისაგან, რომელთა შორისაც მოქმედებს ატომგულური ძალები. ამ ძალებს ის თავისებურება ახასიათებს, რომ ახლო მანძილებზე ( $\sim 10^{-13}$  სმ) გაცილებით ძლიერი არინ, ვიდრე კულონური ან სხვა რამე ჩვენთვის ცნობილი ძალები, გარდა ამისა,

ისინი ახლოს მოქმედების ხასიათისა არიან, ე. ი. მათ აქვთ მაქსიმალური მნიშვნელობა ატომგულურ მანძილებზე ( $r_0 = 1,4 A^{1/3} \cdot 10^{-13}$  სმ;  $A$  მასური რიცხვია) და სწრაფად იქცევიან ნულად ამ მანძილის გარეთ. საკითხი იმის შესახებ, თუ როლის ჩნდება  $\alpha$ -ნაწილაკი გულში, დაშლის მომენტში, თუ მანამდეც არსებობდა მასში როგორც დამოუკიდებელი ერთეული, დღესაც არ არის საცისით გარკვეული. სიმარტივის მიზნით ჩვენ დავუშვებთ, რომ

$\alpha$ -ნაწილაკები ატომგულში დაშლის მო-  
მენტისათვის მზა სახით არსებობს. ატომ-

გულის რადიუსის მანძილზე (ატომგული  
შიგნით) მოქმედებს ორი ტიპის ძალები:  
მძლავრი მიზიდვის ატომგულური ძალები  
და ძალზე სუსტი განზიდვის კულონური  
ძალები. ამგვრად, საჯამო ურთიერთქმე-  
დება  $r_0$  მანძილზე იქნება კვლავ მძლავრი  
მიზიდვის ხასიათისა, რომელიც იმის გამო,  
რომ ჭერ კიდევ უცნობია ატომგულური  
ძალების პოტენციალური ენერგიის სახე,  
შეიძლება შეცვლილ იქნეს ცენტრალური  
სიმეტრიის პოტენციალური ორმოთი.  
 $r > r_0$  მანძილებისათვის კი სურათი საჭი-  
ნაორმდეგოს გვიჩვენებს, რადგან აქ ატომ-

გულური ძალები სრულებით არა გვაქვს, კულონური განზიდვა დარჩენილ ატომ-  
გულსა და  $\alpha$ -ნაწილაკს შორის არსებით როლს თამაშობს. ამგვარად, პოტენცია-  
ლურ ენერგიას ექნება შემდეგი სახე:

$$V(r) = \begin{cases} -V_0, & \text{როცა } r \leqslant r_0 \\ \frac{2(Z-2)e^2}{r}, & \text{როცა } r \geqslant r_0, \end{cases} \quad (83,5)$$

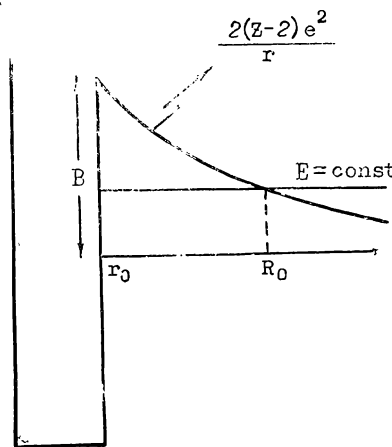
სადაც  $V_0$  არის პოტენციალური ორმოს სიმაღლე,  $\frac{2(Z-2)e^2}{r}$  კი კულონური  
განზიდვის ენერგიაა  $\alpha$ -ნაწილაკის  $2e$  და დარჩენილი ატომგულის  $(Z-2)e$  მუხტს  
შორის.  $\alpha$ -ნაწილაკის გულიდან გამოსასვლელად მისი ენერგია ან ჯებირის სიმაღ-  
ლეზე მეტი უნდა იყოს, ანდა ადგილი უნდა ჰქონდეს გვირაბის ეფექტს. როგორც  
ვიცით, ჯებირის სიმაღლე ეწოდება ჯებირის მაქსიმალურ სიმაღლეს; ამიტომ მის-  
თვის გვექნება

$$B = \frac{2(Z-2)e^2}{r_0}, \quad (83,6)$$

სადაც  $r_0$  არის გულის რადიუსი. თუ შევიტანთ გულის რადიუსისათვის  $r_0 = 1,4 \cdot 10^{-13} A^{1/3}$  სმ, მივიღებთ

$$B = 2(Z-2) 0,9 \cdot A^{-1/3} MeV; \quad (83,7)$$

მაგალითად,  $^{88}Ra^{224}$  გულის ჯებირის სიმაღლისათვის გვაქვს  $\sim 25 MeV$ . ცდები კი გვიჩვენებს, რომ რადიუსის გულიდან ამოტყორული  $\alpha$ -ნაწილაკების ენერგია  $5,8 MeV$ -ის ტოლია, ე. ი. გაცილებით ნაკლებია, ვიდრე ჯებირის სიმაღლე. ეს იმას ნიშნავს, რომ  $\alpha$ -ნაწილაკს გულიდან გამოსვლა შეუძლია მხოლოდ ჯებირში გაუონვის გზით. ამიტომ  $\alpha$ -დაშლის მოვლენა უნდა აიხსნას კვანტური მექანიკის



ნახ. 20

ქეთოდებით. ფაქტიურად, ა-დაშლის თეორიით იწყება ატომგულის მოვლენების შესწავლა კვანტური მექანიკის საფუძველზე. იმის გამო, რომ უცნობია ატომგულური ძალების დეტალური სურათი, დიდი ხნის განმავლობაში ნააღრევად მიაჩნდათ კვანტური მექანიკის მეთოდების გამოყენება ატომგულის მოვლენების შესასწავლად. საბედნიეროდ აღმოჩნდა, რომ არსებობს მთელი რიგი მოვლენებისა, რომელთა ახსნა შეიძლება ატომგულური ძალების დეტალური სურათის ცოდნის გარეშე. ამ მოვლენათა რიცხვში მოხვდა ა-დაშლაც.

განვიხილოთ გამარტივებული შემთხვევა და ვთქვათ, ვიკვლევთ გულიდან ისეთი ა-ნაწილაკების ამოტყორუნას, რომელთა ორბიტალური მომენტი ნულის ტოლია, ე. ი.  $\vec{l}=0$ . ამ შემთხვევაში, როგორც ვიცით, ცენტრალური სიმეტრის გელში ტალღური ფუნქცია კუთხების ფუნქცია არ არის და გვექნება მხოლოდ რადიალური  $\chi(r)=rR(r)$  ტალღური ფუნქცია, რომელშიც, როგორც ზემოთ შევთანხმდით, ვიგულისხმებთ  $V_0$  სიმაღლის ცენტრალური სიმეტრიის პოტენციალური ორმოს ამოხსნებს ( $l=0$ -თვის).

ა-ნაწილაკები რომ ატომგულში ზუსტად სტაციონარულ მდგომარეობაში იმყოფებოდეს, ე. ი. აიწერებოდეს  $\chi(r)=\chi_0(r) \exp(-iEt/\hbar)$  ტიპის ფუნქციებით, მაშინ (5,8) ფორმულის თანახმად ა-ნაწილაკების ნაკადი გულის შემოშაზღვრელ სფეროში ნულის ტოლი იქნებოდა და ა-დაშლაც აღარ გვექნებოდა. მეორე მხრივ, რადგან ა-დაშლის დროზე დამოკიდებულება კარგად აიწერება (83,2) ფორმულით, ამიტომ უნდა ვიფიქროთ, რომ ა-ნაწილაკის ტალღურ ფუნქციას ატომის გულში ექნება სახე.

$$\chi(r)=\chi_0(r) \exp(-iEt/\hbar) \exp(-\lambda/2 t). \quad (83,8)$$

სადაც  $\lambda$  არის რაღაც ნამდვილი პარამეტრი. მართლაც, ამ შემთხვევაში მივთვიდით, რომ ნაწილაკთა საშუალო რიცხვი, რომელიც მოთავსებულია გულის მოცულობაში, იქნებოდა

$$N(t)=\int_0^R |\chi|^2 dr = e^{-\lambda t} \int_0^R |\chi_0|^2 dr.$$

რაც, თუ გავითვალისწინებთ, რომ  $N(0)=\int_0^R |\chi_0|^2 dr$ , ემთხვევა (83,2) ფორმულას. დამატებითი  $\exp(-\lambda/2 t)$  მამრავლის შემოყვანა ნიშნავს იმას, რომ ნაცვლად  $\exp(-iEt/\hbar)$  ჰარმონიული წევრისა შემოგვაჭრს წევრი

$$\exp\left[-\frac{i}{\hbar}\left(E-i\frac{\lambda\hbar}{2}\right)t\right]; \quad (83,9)$$

ამ შემთხვევაში ენერგიის როლს ასრულებს  $W=E-i\frac{\lambda\hbar}{2}$ . ე. ი. ენერგია ფორმულურად განიხილება, როგორც კომპლექსური სიდიდე. ამგარად, ა-ნაწილაკები ზუსტად სტაციონარულ მდგომარეობაში კი არ იმყოფება, არამედ, როგორც ამბობენ, კვაზისტაციონარულ მდგომარეობაში.

როგორც ვხედავთ, ამოცანა დაიყვანება  $\lambda$  დაშლის მუდმივის განსაზღვრაზე. ამისათვის გამოვიყენოთ (5,9) უწყვეტობის განტოლება. რადგან ჩვენს შემთხვევაში ინტეგრალი ერთგანზომილებიანია, ამიტომ ფართითი ინტეგრალი უბრალოდ  $dJ$ -ით

$$\text{ინტეგრალზე } \text{დაიყვანება}, \text{ div} J \text{ კი } \text{იქნება } \frac{dJ}{dr} \text{ და, რადგან } \chi(0)=0, \text{ გვექნება}$$

$$\frac{\partial}{\partial t} \int_0^{R_1} e^{-\lambda t} |\chi_0|^2 dr = -\frac{i\hbar}{2\mu} e^{-\lambda t} \left[ \chi_0 \frac{d\chi_0^*}{dr} - \chi_0^* \frac{d\chi_0}{dr} \right]_{r=R_1}.$$

სადაც  $R_1$  საკმარისად დიდი სფეროს რადიუსია ცენტრით სათავეში. ამ ტოლობიდან შეგვიძლია განვსაზღვროთ  $\lambda$ . მივიღებთ

$$\lambda = \frac{i\hbar}{2\mu} \frac{\left( \chi_0 \frac{d\chi_0^*}{dr} - \chi_0^* \frac{d\chi_0}{dr} \right)_{r=R_1}}{\int_0^{R_1} |\chi_0|^2 dr}; \quad (83,10)$$

ამოტყორცნილი  $\alpha$ -ნაწილაკი გულიდან უსასრულოდ შორს იქნება თავისუფალი, ამიტომ იგი აიწერება შემდეგი ბრტყელი ტალღით:

$$\chi_0(r) = C_- \exp \left( i \frac{\sqrt{2\mu E}}{\hbar} r \right), \quad r \gg R_1$$

მაშასადამე,

$$\frac{i\hbar}{2\mu} \left[ \chi_0 \frac{d\chi_0^*}{dr} - \chi_0^* \frac{d\chi_0}{dr} \right]_{r=R_1} = v_{-\infty} |C_-|^2$$

სადაც  $v_{-\infty}$  არის  $\alpha$ -ნაწილაკის სიჩქარე გულიდან საკმარისად შორ მანძილზე.

გამოვთვალოთ (83,10)-ის მნიშვნელი. ამისათვის მოვიხმაროთ ს 69-ში მიღებული შედეგები. ინტეგრალის აღებისას დიდი სიზუსტით შეგვიძლია დაფუშვათ, რომ ძირითადი მნიშვნელობა აქვს  $(0, r_0)$  არეს, რადგან ორმოს გარეთ ტალღური ფუნქცია სწრაფად ისპობა. ორმოს შიგნით კი გვაქვს ამოხსნა  $\chi_0 = a_- \sin \beta r$ , ასე რომ გვექნება

$$\int_0^{r_0} |\chi_0|^2 dr = \frac{|a_-|^2 r_0}{2} \left\{ 1 - \frac{\sin \beta r_0}{\beta r_0} \cos \beta r_0 \right\}, \quad (83,10')$$

სადაც

$$\beta^2 = \frac{2\mu(V_0 - E)}{\hbar^2}, \quad (82,11)$$

როცა პოტენციალური ორმოს სიღრმე საკმარისად დიდია, მაშინ  $\chi_0(r_0)$  ძალიან მცირეა და (69,9) ფორმულის თანახმად ორმოში საკუთარი მნიშვნელობები განსაზღვრული იქნება ფორმულით

$$\sin \beta r_0 = 0, \quad (82,12)$$

საიდანაც მოიძებნება ენერგიის საკუთარი მნიშვნელობები

$$\beta r_0 = n\pi, \quad n = 1, 2, 3, \dots \quad (83,13)$$

83,12) ფორმულის გათვალისწინებით (83,10') გამოსახულება ასე გადაიწერება:

$$\int_0^{R_1} |\chi_0(r)|^2 dr = \frac{r_0}{2} |a_-|^2 \quad (83,14)$$

და, ამგვარად,

$$\lambda = \frac{2v_{-\infty}}{r_0} \left| \frac{C_-}{a_-} \right|^2. \quad (83,15)$$

ვიგულისხმოთ, რომ  $\alpha$ -ნაწილაკის სიჩქარე გულიდან უსასრულოდ შორს ისეთივეა, რაც ჯებირზე დაჯახების მომენტში, ე. ი.  $v_{-\infty} = v_{+\infty}$  მაშინ, თუ გავითვალისწი-

ნებთ გაუონების კოეფიციენტის (82,19) გამოსახულებას, რადიაქტიური დაშლის მულტივისათვის გვექნება შემდეგი ფორმულა:

$$\lambda = \frac{2v}{r_0} D_0 = \frac{8v}{r_0} e^{-\frac{2}{\hbar} S_0}, \quad (83,16)$$

სადაც

$$S_0 = \sqrt{2\mu} \int_{r_0}^{R_0} \sqrt{\frac{2(Z-2)e^2}{r} - E} dr, \quad (83,17)$$

ხოლო  $v$  არის  $\alpha$ -ნაწილაკის სიჩქარე გულიდან გამოსცლის წინ.

$v$  შეიძლება განვსაზღვროთ (83,13) პირობიდან. კერძოდ, (83,11)-ის გათვალისწინებით მივიღებთ

$$v = \frac{n\pi\hbar}{r_0}; \quad (83,18)$$

ხოლო  $\lambda$ -სათვის გვექნება

$$\lambda = \frac{8\pi n\hbar}{\mu r_0^2} e^{-\frac{2}{\hbar} S_0}. \quad (83,19)$$

ახლა ვიპოვოთ  $S_0$  ინტეგრალი. ამისათვის შემოვიღოთ ახალი ცვლადი

$$\sin^2 \varphi = \frac{rE}{2(Z-2)e^2} = \frac{r}{R_0}, \quad (83,20)$$

სადაც

$$R_0 = \frac{2(Z-2)e^2}{E} \quad (83,21)$$

წარმოადგენს ატომგულის ე. წ. კლასიკურ რადიუსს; იგი განსაზღვრავს იმ მინმალურ მანძილს, რომელზედაც კლასიკური მექანიკის თანახმად  $\alpha$ -ნაწილაკს შეუძლია მიუახლოვდეს ატომის გულს. გვექნება

$$S_0 = 2\sqrt{2\mu E} R_0 \int_a^{\pi/2} \cos^2 \varphi d\varphi, \quad (83,22)$$

სადაც

$$a = \arcsin \sqrt{\frac{r_0}{R_0}}, \quad (83,23)$$

ინტეგრალის ამოხსნის შემდეგ მივიღებთ

$$S_0 = \sqrt{2\mu E} R_0 \left\{ \frac{\pi}{2} - a - \frac{1}{2} \sin 2a \right\}. \quad (83,24)$$

რადგან

$$\frac{\pi}{2} - \arcsin \sqrt{\frac{r_0}{R_0}} = \arccos \sqrt{\frac{r_0}{R_0}}$$

და

$$\sin 2a = a \sqrt{\frac{r_0}{R_0}} \sqrt{1 - \frac{r_0}{R_0}},$$

ამიტომ გვექნება

$$S_0 = \sqrt{2\mu E} \cdot R_0 \left\{ \arccos \sqrt{\frac{r_0}{R_0}} - \sqrt{\frac{r_0}{R_0} \left( 1 - \frac{r_0}{R_0} \right)} \right\}. \quad (83,25)$$

$$\text{პრაქტიკულად } r_0 \ll R_0, \text{ ამიტომ } \arccos \sqrt{\frac{r_0}{R_0}} \simeq \frac{\pi}{2}, \text{ ხოლო მეორე შევრი მოგვცებს } \sim \sqrt{\frac{r_0}{R_0}}, \text{ ასე რომ}$$

$$S_0 = \frac{\pi V \sqrt{2\mu E} R_0}{2} - V \sqrt{2\mu E} V \sqrt{r_0 R_0}. \quad (83,26)$$

ამგვარად, მივიღებთ

$$\lambda = \frac{8\pi n \hbar}{\mu r_0^2} \exp\left(-\frac{4\pi(Z-2)e^2}{\hbar v} + \frac{4\sqrt{\mu(Z-2)e^2 r_0}}{\hbar}\right) \quad (83,27)$$

ან, თუ გაფალოგარითმებთ

$$\ln \lambda = -\frac{4\pi(Z-2)e^2}{\hbar v} + \frac{4e\sqrt{\mu(Z-2)r_0}}{\hbar} + \ln \frac{8\pi\hbar n}{\mu r_0^2}. \quad (83,28)$$

შემოვილოთ აღნიშვნები:

$$a(Z) = \frac{4\pi(Z-2)e^2}{\hbar}, \quad b(Z, r_0) = \frac{4e\sqrt{\mu(Z-2)r_0}}{\hbar} + \ln \frac{8\pi\hbar n}{\mu r_0^2}. \quad (83,29)$$

გვექნება

$$\ln \lambda = \frac{-a(Z)}{v} + b(Z, r_0). \quad (83,30)$$

მაშასადამე, რადიაქტიური დაშლის მუდმივის ლოგარითმი უკუპროპორციულია გამოტყორუნილი ა-ნაწილაკის სიჩქარისა. დაშლის მუდმივის სიჩქარეზე ასეთი დამოკიდებულება, კვანტური მექანიკის ჩამოყალიბებამდე, გეიგერისა და ნეტტოლის მიერ ცდებით იყო დადგენილი. ექსპერიმენტები გვიჩვენებს, რომ ზოგიერთი რადიაქტიური გულის დაშლის საშუალო დრო  $10^{10}$  წელია, ზოგისა კი  $10^{-5}$  სეკუნდი. ე. ი. განსხვავება დაახლოებით 23 რიცისაა, მაშინ, როცა გამოტყორუნილი ა-ნაწილაკების ენერგიები ერთმანეთისაგან სულ რაღაც 2-ჯერ განსხვავდება. ეს ფაქტიც საუკეთესოდ აიწერება ზემოთ მიღებული ფორმულებიდან, საიდანაც აშენდა რად ჩანს  $\lambda$  მუდმივის ძალიან დიდი სისწრაფით ცვლილება გამოტყორუნილი ა-ნაწილაკის ენერგიის ოდნავი ცვლილების დროს; რაც მეტია ა-ნაწილაკის სიჩქარე, მით მეტია  $\lambda$  და, მაშასადამე, მით ნაკლებია ნახევარდაშლის პერიოდი, რაც ასევე ეთანხმება ცდას.

შევნიშნოთ, რომ (83,30) ფორმულაში როგორც უცნობი პარამეტრი შედის ატომგულის  $r_0$  რადიუსი.  $\lambda$  მუდმივი ამ პარამეტრის ცვლილების მიმართ საკმარისად მგრძნობიარე ფუნქციაა. თუ (83,30) ფორმულას შევადარებთ ექსპერიმენტს, პირიქითაც, საშუალება გვექნება გულის რადიუსის განსაზღვრისა. ამ მეთოდით ნაპოვნი გულის რადიუსი დაემთხვა იმას, რასაც იძლევა სხვა მონაცემები (გულის სტატისტიკური მოდელი, ნეიტრონების გაფანტვა და სხვა). ამგვარად, ა-დაშლის თეორია საკმარისად კარგად აიწერება აღნიშნული მოდელით.

აღსანიშნავია, რომ ზემოთ მიღებული ფორმულები შეგვიძლია გამოვიყენოთ არა მხოლოდ ა-დაშლისათვის, არამედ ნებისმიერი დამუხტული ნაწილაკის ჯებირში გაუონვის შესასწავლადაც. (83,30) ფორმულაში მონაწილეობს ა-ნაწილაკის მასა, ამასთან რაც მეტია ნაწილაკის მასა, მით გაძნელებული იქნება მისი გამოტყორუნა

გულიდან. მიუხედავად ამისა არსებობს გარკვეული ალბათობა გულიდან უფრო მძიმე ნაწილაკების გამოტყორცნისა და სპონტანური გაყოფისაც კი.

ჩვენ განვიხილეთ ის შემთხვევა, როცა  $\alpha$ -ნაწილაკის მომენტი ნულის ტოლია  $t = 0$ . ზოგად შემთხვევაში, ნაცვლად  $S_0$  ინტეგრალისა, უნდა გამოვთვალოთ  $(82,20)$  ინტეგრალი. შეიძლება ჩვენება, რომ ცენტრალური ენერგია  $\frac{1}{2}t(t+1)/r^2$  მცირე როლს თამაშობს  $\alpha$ -დაშლის მოვლენაში.

დასასრულ აღნიშნოთ, რომ ჩვენს მიერ უხეშად გამოთვლილი ექსპონენტის წინ მდგომი მამრავლი ექსპონენტთან შედარებით უმნიშვნელოდ იცვლება და, ამრომე, შედეგებზე შესამჩნევ გავლენას არ ახდენს.